

Vad är reglerteknik?

Styrning av dynamiska system med återkoppling

Styrning: Påverka något för att åstadkomma en effekt.

Ex

Gaspedal → Hastighet, acceleration

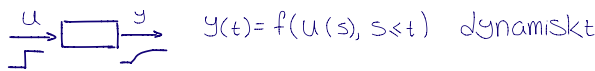
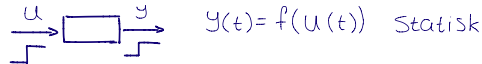
Duschkran → Vattentemperatur, vattenflöde

Spänning → Hastighetsändring

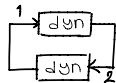
Dynamiska system: Tröghet, minneseffekt

Dynamik beskrivs med differkv

Ex

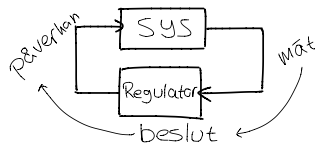


Återkoppling:



2 beror på 1 som beror på 2...

Reglerkrets

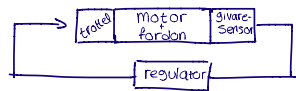


Ex Forthållare

Uppgift: Håll bilens hastighet konstant.

Mätning: Hastighetsgivare

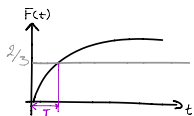
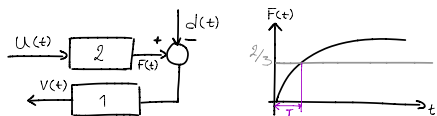
Påverkan: Trottelvinkel



Processmodell

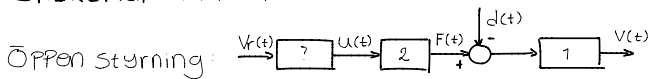
För att beskriva dynamiken

- 1) Newton: $ma = m \cdot \frac{dv}{dt} = E \cdot F_i = F(t) - b \cdot v(t) - mg \sin(\alpha t) = F(t) - b \cdot v(t) - d(t)$
- 2) Motordynamik: $\frac{dF(t)}{dt} = -\frac{1}{T}(F(t) - k \cdot u(t))$



$m = 100 \text{ kg}$
 $b = 0.2 \frac{\text{kN} \cdot \text{s}}{\text{m}}$
 $k = 10 \frac{\text{kN}}{\text{rad}}$
 $T = 1 \text{ s}$

Önskemål: $v(t) = v_r(t)$



Stationärt: $\frac{d(\cdot)}{dt} = 0$, antag $d(t) = 0$

- 1) $m \cdot \frac{dv}{dt} = 0 \Rightarrow F(t) - b \cdot v(t) = 0, v = v_r \Rightarrow F = b \cdot v_r$
- 2) $\frac{dF}{dt} = 0 \Rightarrow 0 = -\frac{1}{T}(F(t) - k \cdot u(t)) \Rightarrow F = k \cdot u \Leftrightarrow u = \frac{F}{k} = \frac{b}{k} \cdot v_r$

Då har vi en regulator som bortsett från dynamiken ej tagit hänsyn till störningar och påverkas av osäkerheten i modellen.

Återkopplade System

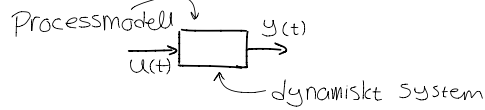
P-regulator: $u(t) = K_P (V_r(t) - v(t))$



Open loop control system, closed loop control system

Med återkoppling kan vi minska effekten av osäkerhet (störning) och forma systemets dynamik.

LTI-System



Diffekv

Bra sätt att modellera/beskriva dynamiska system.

Ex: Forthållare från förra föreläsningen

$$1) m \frac{dv}{dt} = F(t) - bv(t) - d(t)$$

$$2) \frac{dF}{dt} = \frac{1}{T}(-F(t) + kU(t)) \quad dt=0$$

$$3) \text{derivera } 1 \Rightarrow m \frac{d^2v}{dt^2} = \frac{dF}{dt} - \frac{dv}{dt}$$

$$3) T+1 \Rightarrow mT \frac{d^2v}{dt^2} + m \frac{dv}{dt} = T \frac{dF}{dt} - F(t) - bT \frac{dv}{dt} - bv(t)$$

$$mT \frac{d^2v}{dt^2} + (m+bT) \frac{dv}{dt} + bv(t) = kU(t) \quad \leftarrow \text{diffekv}$$

massor om hur man löser de.

Poler och Nollställen

Rötterna till $a(s)$ kallas poler och rötterna till $b(s)$ kallas nollställen: $G(s) = \frac{b(s)}{a(s)}$

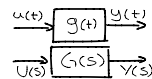
Polernas placering avgör om $G(s)$ är "insignal-utsignal-stabil". Poler med $\text{Re} < 0$ är stabila.

Överföringsfunktionen $G(s)$ kan användas för att lösa de med godtycklig insignal.

Definiera Laplacetransformen för en tidsfunktion $f(t)$: $F(s) = \mathcal{L}\{f(t)\} = \int_0^\infty f(t)e^{-st} dt \Rightarrow \mathcal{L}\left\{\frac{df(t)}{dt}\right\} = sF(s) - f(0)$.

$$\text{Om systemet är i vila vid } t=0 \Rightarrow Y(s) = \frac{b_0 s^m + b_1 s^{m-1} + \dots + b_n}{s^m a_0 s^{m-1} + \dots + a_n} U(s) = \frac{B(s)}{A(s)} U(s) = G(s) U(s)$$

Vi kan nu representera ÖF som blockelement



Laplacestransformen uppfyller faltningssatsen

$$G(s)U(s) = \mathcal{L}\left\{\int_0^t g(t-\tau)u(\tau)d\tau\right\} = Y(s) = \mathcal{L}\{y(t)\}$$

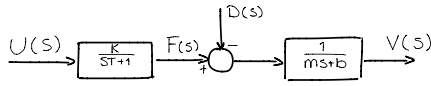
$\mathcal{L}^{-1}\{G(s)\}$ kallas viktfunction

$$\text{Tidsplanet: } y(t) = \int_0^t g(t-\tau)u(\tau)d\tau$$

$$\text{Laplacedomän: } U(s) = \mathcal{L}\{u(t)\} \Rightarrow Y(s) = G(s)U(s)$$

Förhållare

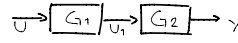
1) $m \frac{dv}{dt} = F(t) - b v(t) - d(t)$ $\mathcal{L}\{1\}: (ms+b)v(s) = F(s) - D(s) \Rightarrow v(s) = \frac{1}{ms+b} (F(s) - D(s))$
 2) $\frac{dE}{dt} = -\frac{1}{T} (F(t) - k u(t))$ $\mathcal{L}\{2\}: F(s) = \frac{k}{sT+1} U(s)$



Poler i $s = -\frac{1}{T}$, $s = -\frac{b}{m}$
 Negativa \Rightarrow stabilt system

Blockschemaräkning

Seriekoppling: $Y(s) = G_1(s)G_2(s)U(s)$

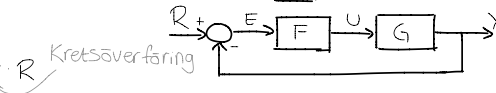


Parallellkoppling: $Y(s) = U(s)(G_1 + G_2)$



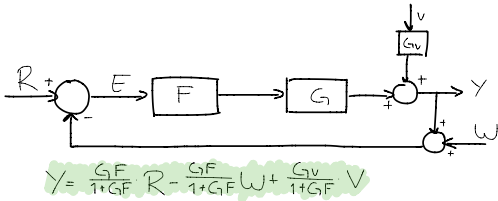
Återkoppling: $Y(s) = GF(R - Y)$

$Y = \frac{GF}{1+GF} R = \frac{L}{1+L} R$



$Y = U \cdot G + V \cdot G_v$
 $U = E \cdot F$
 $E = R - Y - W$

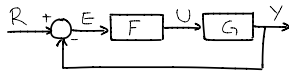
$Y = EFG + VG_v \Leftrightarrow Y = (R - Y - W)FG + VG_v \Leftrightarrow Y(1 + FG) = (R - W)FG + VG_v \Leftrightarrow$
 $Y = \frac{(R - W)FG + VG_v}{1 + FG}$



$Y = \frac{GF}{1+GF} R - \frac{GF}{1+GF} W + \frac{G_v}{1+GF} V$

Superpos $W = V = 0 \Rightarrow Y = \frac{GF}{1+GF} R$
 $V = R = 0 \Rightarrow Y = \frac{-GF}{1+GF} W$
 $W = R = 0 \Rightarrow Y = Y_1 + G_v V = G_1 U + G_v V = G_1 F E + G_v V =$
 $= GF(R - Y) + G_v V = -GF Y + G_v V =$
 $Y = \frac{G_v}{1+GF} V$

Kvarstående fel



Kom ihåg felet vid simuleringen av förhållaren. $E(s) = R(s) - Y(s) = R(s) - \frac{GF}{1+GF} R(s) = (1 - \frac{L}{1+L}) R(s) =$
 $(\frac{1}{1+L}) R(s)$ går även med $\frac{from}{1+krets} = \frac{1}{1+GF} = \frac{1}{1+L}$

Slutvärdessatsen

$t \rightarrow \infty!$
 $\lim_{t \rightarrow \infty} e(t) = \lim_{s \rightarrow 0} s E(s)$

$r(t)$: enhetssteg $\Rightarrow R(s) = \frac{1}{s}$ $\lim_{t \rightarrow \infty} e(t) = \lim_{s \rightarrow 0} s E(s) = \lim_{s \rightarrow 0} s \cdot \frac{1}{1+L(s)} \cdot \frac{1}{s} = \lim_{s \rightarrow 0} \frac{1}{1+L(s)} = \frac{1}{1+L(0)}$

Ex Förhållare

$G(s) = \frac{k}{(ms+b)(sT+1)}$
 P: $F(s) = K_p$
 PI: $F(s) = K_p + \frac{1}{s} K_i$

P: $U(t) = K_p e(t)$
 PI: $U(t) = K_p e(t) + K_i \int e(\tau) d\tau = P + I$
 PID: $K_p e(t) + K_i \int e(\tau) d\tau + K_d \frac{d e(t)}{dt} = P + I + D$

P: $L = FG = \frac{K_p k}{(ms+b)(sT+1)}$
 $\lim_{t \rightarrow \infty} e(t) = \lim_{s \rightarrow 0} s E(s) = \frac{1}{1+L(0)} = \frac{1}{1 + \frac{K_p k}{b}} = \frac{b}{b + K_p k}$, K_p stor $\rightarrow e$ litet men aldrig 0.

PI: $L = FG = \frac{(K_p \frac{1}{s}) k}{(ms+b)(sT+1)} = \frac{(K_p + K_i) k}{s(ms+b)(sT+1)}$
 $\lim_{t \rightarrow \infty} e(t) = \dots = \frac{1}{1+L(0)} = \frac{1}{1+\infty} \rightarrow 0$ "bättre valet"

Dynamiska modeller för tekniska system

Repetition:

Slutvärdessatsen

$\lim_{t \rightarrow \infty} U(t) = \lim_{s \rightarrow 0} s U(s)$ givet att $u(\infty)$ existerar (systemet stabilt)
 Intressant när vi ska studera kvarstående fel.

Bevägningsvärdessatsen

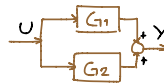
$$u(0) = \lim_{s \rightarrow \infty} s U(s)$$

Intressant att studera när vi vill se hur styrsignalen är vid stegförändringar.

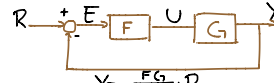
Blockschemaräkning



$$Y(s) = (G_1(s)G_2(s))U(s)$$



$$Y(s) = (G_1 + G_2)U(s)$$

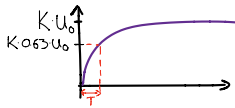


$$Y = \frac{FG}{1+FG} R$$

Tidsförlopp och Stegsvär

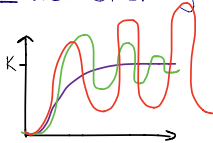
Ex 1a ordningens system: $\frac{Y(s)}{U(s)} = \frac{K}{1 + sT}$ ↑ Förstärkning
↓ Tidskonstant

ST: $Y(s) + Y(s) = K U(s) \xrightarrow{\cdot s^{-1}} \dot{Y}(t) + \frac{1}{T} Y(t) = \frac{K}{T} u(t) \Rightarrow$ Lösning: $Y(t) = K(1 - e^{-t/T}) u_0$
 Tidskonst T: $Y(T) = K(1 - e^{-1}) u_0 = K(1 - 0.37) u_0 = K \cdot 0.63 u_0$



Gör oss en känsla för hur snabbt systemet växer.

Ex 2a ordningens system: $G(s) = \frac{K \omega_n^2}{s^2 + 2\zeta \omega_n s + \omega_n^2}$ ↑ Odämpad självsvängningsfrekvens
↓ relativ dämpning



- $\zeta > 1 \Rightarrow$ reella, stabila poler
- $0 < \zeta < 1 \Rightarrow$ komplexa, stabila (nära 0 \Rightarrow lång insvängning)
- $\zeta < 0 \Rightarrow$ instabilt (ökar)

Def

t_r : Stigtid ($t_{10\%} > t_{90\%}$)

M: Översläng (hur högt går vi över $K u_0$?)

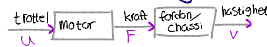
$t_{5\%}$: Settling time

Hur modellerar vi?

Strukturering

- Nedbrytning i delsystem
- Vilka variabler? \Rightarrow Graf eller blockschema
- Vilka kvalitativa samband?

Ex Strukturering - Förhållare



Variabler, Samband

Ställa upp basekvationer

- Balanskvationer
 - * Kraft, energi, massbalanser. Storhet av samma slag
- Konstitutiva samband \Rightarrow Diffekv. och algebraiska samband
 - * Hur beror olika variabler av varandra? Storheter av olika slag
- Dimensionskontroll

Formulera modell

- Linjärisera?
Laplace, annat? \Rightarrow Diffekv, Överföringsfunktion eller tillståndsmodell.
- Välja tillståndsvariabler och formulera tillståndsmodell.

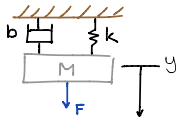
Mekaniska System

Rörelsemängdsbalans: $\frac{d}{dt}(mv) = \sum F_i$ \rightarrow 2a ord diffekv. per massa

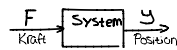
Massa \downarrow hastighet \downarrow Kraften \swarrow
Position \nwarrow

Rotationssystem \rightarrow Rörelsemängdsmoment $\frac{d}{dt}(J\omega) = \sum M_i$

Ex 4.1



* Strukturera



* Basekv.

$$1) \frac{d^2}{dt^2}(my) = \sum F_i = F - F_b - F_k$$

* Konstitutiva samband

$$2) F_k = k y$$

$$3) F_b = b \frac{dy}{dt}$$

* Forma modell

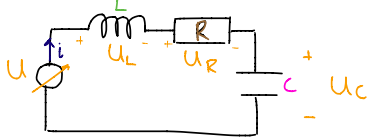
- Sortera ekv. 2 och 3 \rightarrow 1 $\Rightarrow \frac{d^2}{dt^2}(my) = F(t) - k y - b \frac{dy}{dt}$

$$\Leftrightarrow m \frac{d^2 y}{dt^2} = F(t) - k y - b \frac{dy}{dt}$$

$$\Leftrightarrow m y + b \dot{y} + k y = F(t)$$

$$\xrightarrow{L} m s^2 Y(s) + b s Y(s) + k Y(s) = F(s) \Rightarrow \frac{Y(s)}{F(s)} = \frac{1}{m s^2 + b s + k} = \frac{1/m}{s^2 + \frac{b}{m} s + \frac{k}{m}} \rightarrow G(s) = \frac{K \omega_n^2}{s^2 + 2 \zeta \omega_n s + \omega_n^2} \text{ där } \omega_n = \sqrt{\frac{k}{m}} \text{ och } \zeta = \frac{b}{2 \sqrt{k m}}$$

Ex Elektriskt system



* Strukturering



* Basekvationer

$$\text{Kirchoff} \Rightarrow U - U_C - U_R - U_L = 0$$

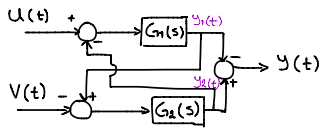
* Konstitutiva samband

$$U_L = L \frac{di}{dt}, U_R = R i, i = C \frac{dU_C}{dt} = \frac{dq}{dt}$$

Hemuppgift: Forma modell som en ÖF.

1.17

a)



Insignaler: $u(t), v(t)$
 Utsignal: $y(t)$

Sökt

$Y(s)$ givet av $U(s), V(s), G_1(s), G_2(s)$

Lösning

Inför $y_1(t), y_2(t)$ som hjälpvariabler

$$\begin{cases} Y_1(s) = G_1(s)(U(s) - Y_2(s)) & 1) \\ Y_2(s) = G_2(s)(Y_1(s) - V(s)) & 2) \\ Y(s) = Y_2(s) - Y_1(s) & 3) \end{cases}$$

$$\begin{aligned} 2 \Rightarrow 1: Y_1(s) &= G_1(s)(U(s) - G_2(s)(Y_1(s) - V(s))) \Leftrightarrow \\ (1 + G_1G_2)Y_1(s) &= G_1(s)U(s) + G_1G_2(s)V(s) \Leftrightarrow \\ Y_1(s) &= \frac{G_1(U(s) + G_2V(s))}{1 + G_1G_2} \end{aligned}$$

$$\begin{aligned} Y_1 \Rightarrow 2: Y_2(s) &= G_2 \left(\frac{G_1(U(s) + G_2V(s))}{1 + G_1G_2} - V(s) \right) \Leftrightarrow \\ Y_2(s) &= G_2 \left(\frac{G_1(U(s) + G_2V(s)) - V(s)(1 + G_1G_2)}{1 + G_1G_2} \right) \Leftrightarrow \\ Y_2(s) &= \frac{G_1G_2U(s) - V(s)G_2}{1 + G_1G_2} \end{aligned}$$

$$Y(s) = \frac{G_1G_2U(s) - V(s)G_2}{1 + G_1G_2} - \frac{G_1(U(s) + G_2V(s))}{1 + G_1G_2} = \frac{G_1(G_2 - 1)}{1 + G_1G_2} U(s) - \frac{G_2(1 + G_1)}{1 + G_1G_2} V(s)$$

b)

Sökt
 $\frac{Y(s)}{U(s)}, \frac{Y(s)}{V(s)}$

da: $G_1(s) = G_2(s) = \frac{1}{s+1}$

$$G_{1uy} = \frac{Y(s)}{U(s)} = \frac{G_1(G_2 - 1)}{1 + G_1G_2} = \frac{\frac{1}{s+1}(\frac{1}{s+1} - 1)}{1 + (\frac{1}{s+1})^2} = -\frac{s}{(s+1)^2 + 1}$$

$$G_{1vy} = \frac{Y(s)}{V(s)} = \frac{G_2(1 + G_1)}{1 + G_1G_2} = \frac{\frac{1}{s+1}(1 + \frac{1}{s+1})}{1 + (\frac{1}{s+1})^2} = -\frac{s+2}{(s+1)^2 + 1}$$

c) Sökt

$y(t)$ då $u(t)$ är ett steg $\sigma(t)$ och $v(t)$ är en puls $\delta(t)$.

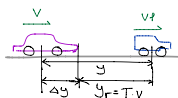
$$\mathcal{L}\{u(t)\} = \frac{1}{s}, \quad \mathcal{L}\{v(t)\} = 1$$

Dämpningssatsen: $\mathcal{L}^{-1}\{F(s+a)\} = e^{-at} \mathcal{L}^{-1}\{F(s)\}$

$$Y(s) = G_{1uy}(s)U(s) + G_{1vy}(s)V(s) = \frac{-s}{(s+1)^2 + 1} \cdot \frac{1}{s} - \frac{s+2}{(s+1)^2 + 1} \cdot 1 = -\frac{2}{(s+1)^2 + 1} - \frac{s+1}{(s+1)^2 + 1}$$

$$y(t) = -e^{-t} \mathcal{L}^{-1}\left\{\frac{2}{s+1}\right\} - e^{-t} \mathcal{L}^{-1}\left\{\frac{s+1}{s+1}\right\} = -2e^{-t} \sin(t) - e^{-t} \cos(t)$$

1.20 Intelligent farthållare (håll avstånd)



T : tidslucka
 V : följevagnens hastighet
 α : $\dot{V} = G_v \cdot u$
 U : Insignal

Använd en P-regulator med förstärkning K_p .

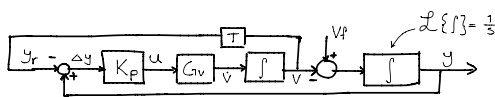
Rita Principiellt blockschema.

Notera: insignaler (referenssignal): y_r

Störinsignal: v

reglerfel: Δy

$$y(t) = \int (v_f(t) - v(t)) dt$$

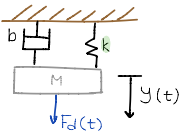


Ökat avstånd kräver ökad acceleration \Rightarrow positiv återkoppling

y_r : önskat avstånd

Δy : avvikelse från y_r

1.23



$$m\ddot{y} + b\dot{y} + ky = F_d$$

Sökt

ω_n : Svängn. frekvens

ξ : dämpn. konstant

K : Statisk förstärkning

Detta gjorde vi på föreläsningen innan, vi skummar lite och tar b-uppgiften.

$$G(s) = \frac{K \omega_n^2}{s^2 + 2\xi \omega_n s + \omega_n^2} \quad \frac{Y(s)}{F_d(s)} = \frac{1/m}{s^2 + \frac{b}{m}s + \frac{k}{m}} \quad \omega_n = \sqrt{\frac{k}{m}}, \quad \xi = \frac{b}{2\sqrt{km}}, \quad K = \frac{1}{k}$$

b) Sökt

$$\omega_d = \omega_n \sqrt{1 - \xi^2}$$

$$a = \omega_n \xi$$

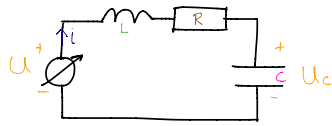
$$\omega_d = \sqrt{\frac{k}{m}} \sqrt{1 - \frac{b^2}{4km}}$$

$$a = \sqrt{\frac{k}{m}} \cdot \frac{b}{2\sqrt{km}}$$

$S = -a + j\omega_d$: polerna

Stegsvar: $b = k = m = 1$

Ex Elektriskt system (forts)



Sökt
 U_c

Lösning

* Strukturering
Inför lämpliga städvariabler.

* Basrelationer
Balansrelationer
Kirchoff
 $U - U_L - U_R - U_C = 0$

Konstitutiva samband

$$U_L = L \frac{di}{dt}, U_R = Ri, i = C \frac{dU_c}{dt}, q = \int i dt = \int C \frac{dU_c}{dt} dt = C U_c$$

$$\frac{dq}{dt} = i, \frac{d^2q}{dt^2} = \frac{di}{dt}$$

* Formulera modell

$$U - L \frac{d^2q}{dt^2} - R \frac{dq}{dt} - \frac{1}{C} q = 0$$

$$\Leftrightarrow L \frac{d^2q}{dt^2} + R \frac{dq}{dt} + \frac{1}{C} q = U$$

$$\Leftrightarrow \ddot{q} + \frac{R}{L} \dot{q} + \frac{1}{LC} q = \frac{1}{L} U$$

$$L \Rightarrow s^2 Q(s) + \frac{R}{L} s Q(s) + \frac{1}{LC} Q(s) = \frac{1}{L} U(s), Q(s) = C \cdot U_c(s) \Rightarrow \frac{U_c(s)}{U(s)} = \frac{1/LC}{s^2 + \frac{R}{L}s + \frac{1}{LC}} = G(s)$$

$R \rightarrow b$
 $L \rightarrow m$
 $C \rightarrow \frac{1}{k}$

Minns det mekaniska systemet: $\frac{y(s)}{F(s)} = \frac{1/m}{s^2 + \frac{R}{m}s + \frac{k}{m}}$

Tillståndsmodeller

System av 1:a ordningens differentialekvationer

Ex Elektrisk krets

Mål: $\dot{x} = f(x, u)$ x - tillståndsvariabel, u - insignal

Välj tillståndsvariabler, ex U_c och $i \Rightarrow$

$$\frac{dU_c}{dt} = \frac{1}{C} i$$

$$\frac{di}{dt} = \frac{1}{L} U_L = \frac{1}{L} (U - U_C - U_R) = \frac{1}{L} (U - U_C - Ri)$$

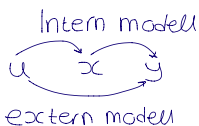
tillståndsvariabel insignal tillståndsvariabel

Nya variabler: q och $i \Rightarrow$

$$\frac{dq}{dt} = i$$

$$\frac{di}{dt} = \frac{1}{L} U_L = \frac{1}{L} (U - U_R - U_C) = \frac{1}{L} (U - Ri - \frac{1}{C} q)$$

$x = f(x, u)$ Om tv: $U_c \ \& \ i \Rightarrow y = U_c$
 $y = g(x, u)$ $q \ \& \ i \Rightarrow y = \frac{1}{C} q$



"Hur beror de av varandra?"

Linjära system: $\dot{x} = Ax + Bu$

$$\begin{bmatrix} \dot{x} \end{bmatrix} = \begin{bmatrix} \frac{dU_c}{dt} \\ \frac{di}{dt} \end{bmatrix} = \begin{bmatrix} 0 & \frac{1}{C} \\ -\frac{1}{L} & -\frac{R}{L} \end{bmatrix} \begin{bmatrix} U_c \\ i \end{bmatrix} + \begin{bmatrix} 0 \\ \frac{1}{L} \end{bmatrix} \cdot U$$

$y = Cx + Du$

$$\begin{bmatrix} y \end{bmatrix} = \begin{bmatrix} 1 & 0 \end{bmatrix} \begin{bmatrix} U_c \\ i \end{bmatrix} + \begin{bmatrix} 0 \end{bmatrix} U$$

Intern modell \rightarrow Extern

$$\begin{aligned} \dot{x} &= Ax + Bu & \xleftrightarrow{G(s)} \\ y &= Cx + Du \end{aligned}$$

Laplace! \Rightarrow $sX(s) = AX(s) + BU(s) \Rightarrow (sI - A)X(s) = BU(s) \Rightarrow X(s) = (sI - A)^{-1}BU(s)$
 $Y(s) = CX(s) + DU(s)$

$$Y(s) = C(sI - A)^{-1}BU(s) + DU(s) = (C(sI - A)^{-1}B + D)U(s) = G(s)U(s)$$

Ex Elektriskt system

$$\dot{x} = \begin{bmatrix} 0 & \frac{1}{L} \\ -\frac{1}{L} & -\frac{R}{L} \end{bmatrix} x + \begin{bmatrix} 0 \\ \frac{1}{L} \end{bmatrix} u \quad y = \begin{bmatrix} 1 & 0 \end{bmatrix} x + \begin{bmatrix} 0 \end{bmatrix} u$$

$$G(s) = C(sI - A)^{-1}B + D = [1 \ 0] \left[\begin{pmatrix} s & 0 \\ 0 & s \end{pmatrix} - \begin{pmatrix} 0 & \frac{1}{L} \\ -\frac{1}{L} & -\frac{R}{L} \end{pmatrix} \right]^{-1} \begin{bmatrix} 0 \\ \frac{1}{L} \end{bmatrix} + 0 = [1 \ 0] \begin{bmatrix} s & -\frac{1}{L} \\ \frac{1}{L} & s + \frac{R}{L} \end{bmatrix}^{-1} \begin{bmatrix} 0 \\ \frac{1}{L} \end{bmatrix} =$$

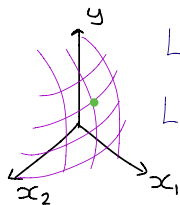
$$[1 \ 0] \frac{1}{s(s + \frac{R}{L}) + \frac{1}{L^2}} \begin{bmatrix} s + \frac{R}{L} & \frac{1}{L} \\ -\frac{1}{L} & s \end{bmatrix} \begin{bmatrix} 0 \\ \frac{1}{L} \end{bmatrix} = \frac{[s + \frac{R}{L} \ \frac{1}{L}] \begin{bmatrix} 0 \\ \frac{1}{L} \end{bmatrix}}{s(s + \frac{R}{L}) + \frac{1}{L^2}} = \frac{\frac{1}{L^2}}{s^2 + \frac{R}{L}s + \frac{1}{L^2}} = \frac{1}{L^2}$$

Notera: Systemets poler bestäms av $\det(sI - A) =$ egenvärdena till A .

Linjärisering

$$\begin{aligned} x &= f(x, u) \\ y &= g(x, u) \end{aligned} \longrightarrow \begin{cases} \dot{x} = Ax + Bu \\ y = Cx + Du \end{cases}$$

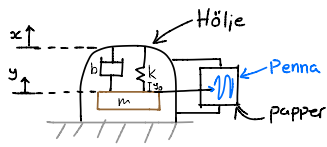
Ex Funktion av flera variabler (2 st)



Lås $x_2 = x_2^0 \rightarrow$ "skiva", $y = f(x_1, x_2^0) \approx$ Taylorutv $\approx f(x_1^0, x_2^0) + \left. \frac{\partial f}{\partial x_1} \right|_{x_1^0, x_2^0} \Delta x_1$

Lås $x_1 = x_1^0 \rightarrow$ "skiva", $y = f(x_1^0, x_2) \approx$ Taylorutv $\approx f(x_1^0, x_2^0) + \left. \frac{\partial f}{\partial x_2} \right|_{x_1^0, x_2^0} \Delta x_2$

32



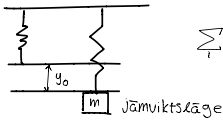
Givet

x - Jordens läge ($x=0$ i jämvikt)
 y - Massans läge ($y=0$ i jämvikt)
 m = massa
 b = dämpkonstant
 k = fjäderkonstant

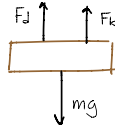
Sökt

$G(s) = \frac{Y(s)}{X(s)}$

Lösning



$\sum F_i = ma$, jämvikt $\Rightarrow a=0$



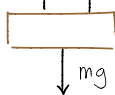
Hooks lag: $F_k = kx$, x = utsträckning = y_0

$F_d = b \dot{x}$

$\uparrow: F_d + F_k - mg = 0 \Leftrightarrow 0 + ky_0 - mg = 0 \Leftrightarrow y_0 = \frac{mg}{k}$

Inte jämvikt

$b(\dot{x} - (\dot{y} - \dot{y}_0)) + k(x - (y - y_0))$



$\sum F_i = ma = m\ddot{y}$

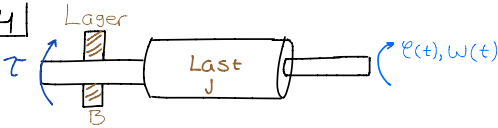
$1: m\ddot{y} = b(\dot{x} - (\dot{y} - \dot{y}_0)) + k(x - (y - y_0)) - mg$

$m\ddot{y} = b(\dot{x} - \dot{y}) + k(x - y)$

$Y(s)(ms^2 + bs + k) = X(s)(bs + k)$

$G(s) = \frac{bs + k}{ms^2 + bs + k}$

34



Sökt

$G_1(s) = \frac{\Omega(s)}{\tau(s)}$

$G_2(s) = \frac{\phi(s)}{\tau(s)}$

Lösning

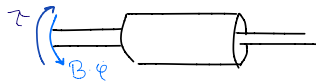
$\sum M = J \cdot \alpha$

α : vinkelacc

J : Tröghetsmoment

M : Vridande moment

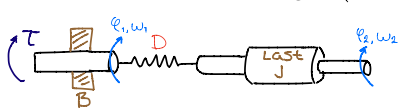
Frilägening



$\uparrow: J \ddot{\phi} = \tau - B \phi \Rightarrow J s^2 \phi(s) = \tau(s) - B s \phi(s) \Leftrightarrow \phi(s)(J s^2 + B s) = \tau(s) \Leftrightarrow G_2(s) = \frac{1}{s(J s + B)}$

$\omega = \dot{\phi} \Rightarrow \Omega(s) = s \phi(s) \Rightarrow \frac{\Omega(s)}{\tau(s)} = s \frac{1}{s(J s + B)} = \frac{1}{J s + B} = G_1(s)$

b)

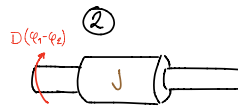
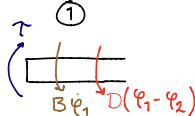


Sökt

$\frac{\Omega_1(s)}{\tau(s)}, \frac{\Omega_2(s)}{\tau(s)}$

Lösning

Frilägg!



$J \alpha = \sum M_i \Rightarrow \uparrow: 0 = \tau - B \phi_1 - d(\phi_1 - \phi_2)$
 $\mathcal{L} \Rightarrow 0 = \tau(s) - B \Omega_1(s) - \frac{d}{s}(\Omega_1(s) - \Omega_2(s))$

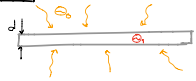
$\uparrow: J \ddot{\phi}_2 = D(\phi_1 - \phi_2)$

$J s \Omega_2(s) = \frac{d}{s}(\Omega_1(s) - \Omega_2(s))$

$2: \Omega_2(s)(J s^2 + D) = D \Omega_1(s) \Rightarrow \Omega_2(s) = \Omega_1(s) \frac{D}{J s^2 + D}$
 $1: \Omega_1(s)(B s + D) = \tau(s) \cdot s + D \Omega_2(s) \Rightarrow \Omega_1(s) = \frac{\tau(s) s + D \Omega_2(s)}{B s + D}$

$\frac{\Omega_1(s)}{\tau(s)} = \frac{J s^2 + D}{J B s^2 + J D s + B D}$
 $\frac{\Omega_2(s)}{\tau(s)} = \frac{D}{s^2 J B + D J s + B D}$

3.16



$$q = \sigma (\theta_0^4 - \theta_1^4) \left[\frac{W}{m^2} \right]$$

Givet

- d : tjocklek [m]
- ρ : densitet $\left[\frac{kg}{m^3} \right]$
- c : Specifikt värme $\left[\frac{J}{kg \cdot K} \right]$
- θ_0 : vagn temp [K]
- θ_1 : Plåt temp [K]

Sökt

Lösning

Flödesbalans (s.126)

Energiflöde $\left[\frac{J}{s} = W \right]$: Ändring av upplagrad energi per tidsenhet = {Effekt in - Effekt ut}

$$\text{Energi i plåten: } d \cdot \rho \cdot c \cdot \theta_1 = [m] \left[\frac{kg}{m^3} \right] \left[\frac{J}{kg \cdot K} \right] [K] = \left[\frac{J}{m^2} \right]$$

$$d \cdot \rho \cdot c \cdot \frac{d\theta_1}{dt} = \left[\frac{J}{m^2} \right] = \left[\frac{W}{m^2} \right]$$

$$d \cdot \rho \cdot c \cdot \frac{d\theta_1}{dt} = \sigma (\theta_0^4 - \theta_1^4) \Leftrightarrow \frac{d\theta_1}{dt} = \frac{\sigma}{d \cdot \rho \cdot c} (\theta_0^4 - \theta_1^4) = f(\theta_0, \theta_1)$$

Vid arbetspunkten θ antas jämvikt råda.

$$\theta_{0,0} = \theta, \quad \theta_{1,0} = ?$$

$$f(\theta_{0,0}, \theta_{1,0}) = 0 \quad \text{ty jämvikt.}$$

$$\frac{\sigma}{d \cdot \rho \cdot c} (\theta_{0,0}^4 - \theta_{1,0}^4) = 0 \Rightarrow \theta_{0,0}^4 = \theta_{1,0}^4 \Rightarrow \theta_{0,0} = \theta_{1,0} = \theta$$

$$\text{Arb pkt } (\theta_{0,0}, \theta_{1,0}) = (\theta, \theta)$$

$$\left. \begin{array}{l} \theta_0 = \theta + \Delta\theta_0 \\ \theta_1 = \theta + \Delta\theta_1 \end{array} \right\} \Rightarrow \begin{array}{l} \Delta\theta_0 = \theta_0 - \theta \\ \Delta\theta_1 = \theta_1 - \theta \end{array} \Rightarrow \Delta\theta_1 = \frac{\partial f}{\partial \theta_0} \Big|_{(\theta, \theta)} \Delta\theta_0 + \frac{\partial f}{\partial \theta_1} \Big|_{(\theta, \theta)} \Delta\theta_1, \quad \begin{array}{l} \frac{\partial f}{\partial \theta_0} = \frac{4\sigma}{d \cdot \rho \cdot c} \theta^3 \Big|_{(\theta, \theta)} = \frac{4\sigma}{d \cdot \rho \cdot c} \theta^3 \\ \frac{\partial f}{\partial \theta_1} = \frac{-4\sigma}{d \cdot \rho \cdot c} \theta^3 \Big|_{(\theta, \theta)} = \frac{-4\sigma}{d \cdot \rho \cdot c} \theta^3 \end{array}$$

$$\Delta\theta_1 = \frac{8\sigma}{d \cdot \rho \cdot c} (\Delta\theta_0 - \Delta\theta_1)$$

$$\text{Laplace} \Rightarrow \frac{d \cdot \rho \cdot c}{4 \theta^3} \cdot 5 \Delta\theta_1 + \Delta\theta_1 = \Delta\theta_0 \Rightarrow \frac{\Delta\theta_1}{\Delta\theta_0} = \frac{1}{\frac{d \cdot \rho \cdot c}{4 \theta^3} \cdot 5 + 1} \quad T = \frac{d \cdot \rho \cdot c}{4 \theta^3}, \quad \text{högre } \theta \Rightarrow \text{snabbare sys}$$

Modellbyggeri

Beskriv systemet matematiskt, vi använde trefasmetoden vilken på ett naturligt sätt mynnar ut i en tillståndsmodell: $\dot{x} = f(x, u)$, $y = g(x, u)$, x = tillståndsvektor, y = utsignal, u = insignal.

Linjär tillståndsmodell

$$\begin{array}{l} \dot{x} = Ax + Bu \\ y = Cx + Du \end{array} \quad \begin{array}{l} \xrightarrow{\hspace{2cm}} \\ \Rightarrow G(s) = C \cdot (sI - A)^{-1} B + D \end{array}$$

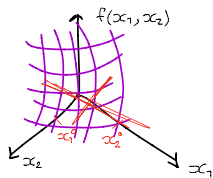
↖ s 99 i boken ↗

Hur linjeraserar vi?

$$\begin{cases} \dot{x} = f(x, u) \\ y = g(x, u) \end{cases} \longrightarrow \begin{cases} \dot{x} = Ax + Bu \\ y = Cx + Du \end{cases}$$

Ex Funktion i två variabler

$f(x_1, x_2)$



Läs $x_2 = x_2^*$: $y = f(x_1, x_2^*) = [\text{Taylorutveckling}] \approx f(x_1^*, x_2^*) + \left. \frac{\partial f}{\partial x_1} \right|_{(x_1^*, x_2^*)} \Delta x_1$

Läs $x_1 = x_1^*$: $y = f(x_1^*, x_2) = [\text{Taylor}] \approx f(x_1^*, x_2^*) + \left. \frac{\partial f}{\partial x_2} \right|_{(x_1^*, x_2^*)} \Delta x_2$

Kombinera ihop: $f(x_1, x_2) \approx f(x_1^*, x_2^*) + \left. \frac{\partial f}{\partial x_1} \right|_{x_0} \Delta x_1 + \left. \frac{\partial f}{\partial x_2} \right|_{x_0} \Delta x_2$ $x_0 = (x_1^*, x_2^*)$

$$f(x) = \begin{bmatrix} f_1(x_1, x_2) \\ f_2(x_1, x_2) \end{bmatrix} \approx f(x_0) \underbrace{\begin{bmatrix} \left. \frac{\partial f_1}{\partial x_1} \right|_{x_0} & \left. \frac{\partial f_1}{\partial x_2} \right|_{x_0} \\ \left. \frac{\partial f_2}{\partial x_1} \right|_{x_0} & \left. \frac{\partial f_2}{\partial x_2} \right|_{x_0} \end{bmatrix}}_{\left. \frac{\partial f}{\partial x} \right|_{x_0}} \cdot \underbrace{\begin{bmatrix} \Delta x_1 \\ \Delta x_2 \end{bmatrix}}_{\Delta x}$$

Till sist: $\dot{x} = f(x, u)$: $f(x, u) \approx f(x_0, u_0) + \left. \frac{\partial f}{\partial x} \right|_{(x_0, u_0)} \Delta x + \left. \frac{\partial f}{\partial u} \right|_{(x_0, u_0)} \Delta u$

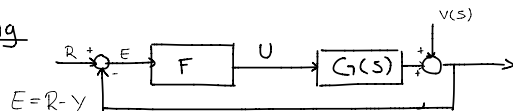
Tips: Välj (x_0, u_0) som en stationär punkt (en punkt där $\dot{x}(t) = 0$) $\Rightarrow f(x_0, u_0) = 0$ om $\begin{pmatrix} u = u_0 \\ x = x_0 \end{pmatrix}$.

Linjäriserad tillståndsmodell

$$\Delta \dot{x}(t) = \underbrace{\left. \frac{\partial f}{\partial x} \right|_{(x_0, u_0)}}_A \Delta x + \underbrace{\left. \frac{\partial f}{\partial u} \right|_{(x_0, u_0)}}_B \Delta u$$

$$\Delta y(t) = \underbrace{\left. \frac{\partial g}{\partial x} \right|_{(x_0, u_0)}}_C \Delta x + \underbrace{\left. \frac{\partial g}{\partial u} \right|_{(x_0, u_0)}}_D \Delta u$$

Återkoppling



Vi använder återkoppling för att minska effekten av osäkerhet (ex störningar, parametervariationer)
- forma dynamiken (snabba upp, stabilisera)

P-regulator

$$U = K_p E = K_p (R - Y), \quad F(s) = K_p$$

Ex 1a ordningens system

$$G(s) = \frac{K}{1 + sT}$$



$$\frac{1}{ms + b} = \frac{1/b}{1 + sT}$$

$$Y(s) = \frac{F(s)G(s)}{1 + F(s)G(s)} R(s) = \frac{K_p K}{1 + K_p K + sT} R(s) = \frac{K_c}{1 + sT_c} R(s)$$

$K_c = \text{closed loop gain}$

Vi ser att en ökning av K_p ger en minskning av T_c och får således ett snabbare system.

Kvarstående fel är också något att beakta.

$$\lim_{t \rightarrow \infty} e(t) = \lim_{s \rightarrow 0} sE(s) = \lim_{s \rightarrow 0} s \left(\frac{1}{1 + F(s)G(s)} \right) R(s) = \left\{ R(s) = \frac{r_0}{s} \right\} = \lim_{s \rightarrow 0} s \left(\frac{1}{1 + F(s)G(s)} \right) \frac{r_0}{s} = \lim_{s \rightarrow 0} \frac{r_0}{1 + F(s)G(s)} = \frac{r_0}{1 + K_p K}$$

Så att öka K_p ger ett minskat kvarstående fel.

Störning: Kvarstående fel på utsignalen

vid stegformad processstörning. $V(s) = \frac{V_0}{s}$

$$Y(\infty) = \lim_{t \rightarrow \infty} y(t) = \lim_{s \rightarrow 0} s Y(s) = \dots = \frac{V_0}{1 + K_p K}$$

Om K_p ökar minskar störningens inverkan.

Styrsignalaktiviteten, $U_0 = \lim_{t \rightarrow \infty} u(t) = \lim_{s \rightarrow 0} s U(s) = \lim_{s \rightarrow 0} s \frac{F(s)}{1 + F(s)G(s)} R(s) = \lim_{s \rightarrow 0} \frac{F(s) r_0}{1 + F(s)G(s)} = \lim_{s \rightarrow 0} \frac{K_p (1 + sT) r_0}{1 + K_p K + sT} \rightarrow K_p r_0$

Att öka K_p ger större styrsignal.
Då får man passa sig så inte systemet går sönder.

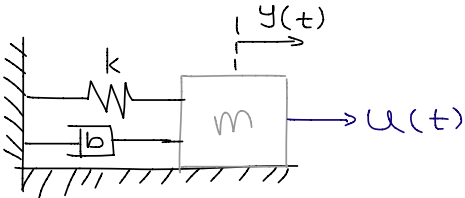
Summering

K_p ökar \Rightarrow

Snabbare system
minskning av kvarstående felet
Större styrsignal
minskad störning inverkan

Tillståndsmodeller

$$\begin{aligned} \dot{x}(t) &= Ax(t) + Bu(t) & , \quad x(t): \text{tillståndsvektor} & \quad n \times 1 & \quad \text{Dimensioner: } A: n \times n, \quad B: n \times m \\ y(t) &= Cx(t) + Du(t) & u(t): \text{insignalsvektor} & \quad m \times 1 & \quad C: p \times n, \quad D: p \times m \\ & & y(t): \text{utsignalsvektor} & \quad p \times 1 & \end{aligned}$$



$$\begin{aligned} \rightarrow: \quad m\ddot{y} &= u(t) - k y(t) - b \dot{y}(t) \\ (ms^2 + bs + k)Y(s) &= U(s) \\ G(s) &= \frac{1}{ms^2 + bs + k} \end{aligned}$$

Tillståndsekvation

$$\begin{cases} \dot{x}_1 = \dot{y} & x_1 = y = x_2 \\ \dot{x}_2 = \dot{y} = \frac{u}{m} - \frac{k}{m}y(t) - \frac{b}{m}\dot{y}(t) = \frac{u}{m} - \frac{k}{m}x_1 - \frac{b}{m}x_2 \end{cases}$$

$$\dot{x} = \begin{bmatrix} 0 & 1 \\ -\frac{k}{m} & -\frac{b}{m} \end{bmatrix} x + \begin{bmatrix} 0 \\ \frac{1}{m} \end{bmatrix} u, \quad y = [1 \ 0] x + [0] u$$

Notera: Tillståndsvariablerna
Väljs som $x_1 = y, x_2 = \dot{y},$
 $x_3 = \ddot{y}, \dots$ Upp till
grad $n-1$.

2.1

a)

Givet

$$\dot{y}(t) + y(t) = u(t)$$

u: insignal

y: utsignal

Sökt

Systemet på tillståndsform

Lösning

$$x_1 = y \Rightarrow \dot{x}_1 = \dot{y} = x_2$$

$$x_2 = \dot{y} \Rightarrow \dot{x}_2 = \dot{y} = -y + u = -x_1 + u$$

$$\dot{x} = \begin{bmatrix} 0 & 1 \\ 0 & -1 \end{bmatrix} x + \begin{bmatrix} 0 \\ 1 \end{bmatrix} u$$

$$y = [1 \ 0] x$$

c)

Givet

$$\begin{cases} 4\dot{v}(t) + 5v(t) = 2u(t) \\ \dot{y}(t) + 2y(t) = 5v(t) \end{cases}$$

Sökt

Tillståndsmodell

$$\begin{aligned} x_1 = v & \Rightarrow \dot{x}_1 = \dot{v} = -2v + 5v = -2x_1 + 5x_2 \Rightarrow \dot{x} = \begin{bmatrix} -2 & 5 \\ 0 & -1.25 \end{bmatrix} x + \begin{bmatrix} 0 \\ 0.5 \end{bmatrix} u, \quad y = [1 \ 0] x \\ x_2 = v & \Rightarrow \dot{x}_2 = \dot{v} = -\frac{5}{4}v + \frac{1}{2}u = -\frac{5}{4}x_2 + \frac{1}{2}u \end{aligned}$$

2.4)

Givet

$$\dot{x}(t) = \begin{bmatrix} 2 & 0 \\ -3 & 4 \end{bmatrix} x(t) + \begin{bmatrix} 1 \\ 2 \end{bmatrix} u(t)$$

$$y(t) = [2 \quad -1] x(t) + [1] u(t)$$

Sökt

$$G(s) = \frac{Y(s)}{U(s)}$$

$$G(s) = C(sI - A)^{-1} B + D = [2 \quad -1] \left(\begin{bmatrix} s & 0 \\ 0 & s \end{bmatrix} - \begin{bmatrix} 2 & 0 \\ -3 & 4 \end{bmatrix} \right)^{-1} \begin{bmatrix} 1 \\ 2 \end{bmatrix} + [1] =$$

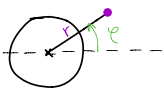
$$[2 \quad -1] \left(\begin{bmatrix} s-2 & 0 \\ 3 & s-4 \end{bmatrix} \right)^{-1} \begin{bmatrix} 1 \\ 2 \end{bmatrix} + 1 = [2 \quad -1] \frac{1}{\det(sI-A)} \begin{bmatrix} s-4 & 0 \\ 3 & 4 \end{bmatrix} \begin{bmatrix} 1 \\ 2 \end{bmatrix} + 1 =$$

$$[2 \quad -1] \frac{1}{(s-2)(s-4)} \begin{bmatrix} s-4 \\ -3+2(s-2) \end{bmatrix} + 1 = \frac{1}{(s-2)(s-4)} (2(s-4) - 1(-3+2(s-2))) + 1 =$$

$$\frac{1}{(s-2)(s-4)} (-8+3+4) + 1 = \frac{-1+(s-2)(s-4)}{(s-2)(s-4)} = \frac{s^2-6s+7}{(s-2)(s-4)}$$

2.11

Givet



$$\omega_0 = \frac{2\pi}{24 \cdot 3600} \frac{\text{rad}}{\text{s}}$$

Sökt

a) Tillståndsmodell

b) Linjärisera modellen, hitta eigenvalues

$$\textcircled{1} \quad \ddot{r}(t) + \frac{k}{r^3}(t) - r(t)\omega^2(t) = u_1(t)$$

$$\textcircled{2} \quad \frac{1}{r(t)} \frac{d}{dt} (r^2(t)\omega(t)) = u_2(t)$$

k: gravitationskonstant

u_1, u_2 : radiella resp tangentiella styrkrafter

$$\text{a) } \begin{cases} x_1 = r \\ x_2 = \dot{r} \\ x_3 = \omega \end{cases} \begin{cases} \dot{x}_1 = r = x_2 \\ \dot{x}_2 = \ddot{r} = -\frac{k}{r^3} + r\omega^2 + u_1 = -\frac{k}{x_1^3} + x_1 x_3^2 + u_1 \\ \dot{x}_3 = \dot{\omega} = \left\{ \text{derivera uttryck 2} \right\} = \frac{-2r\dot{r}\omega + u_2}{r} = -\frac{2x_2 x_3}{x_1} + \frac{u_2}{x_1} \end{cases}$$

b) Tillstandsderivator är 0 i arbpkt

$$u_{10} = u_{20} = 0$$

Linjärisering: $\Delta \dot{x} = A \Delta x + B \Delta u$

(x_0, u_0) : arbpkt

$$A = \begin{bmatrix} \frac{\partial f_1}{\partial x_1} & \dots & \frac{\partial f_1}{\partial x_n} \\ \vdots & \ddots & \vdots \\ \frac{\partial f_m}{\partial x_1} & \dots & \frac{\partial f_m}{\partial x_n} \end{bmatrix}, \quad B = \begin{bmatrix} \frac{\partial f_1}{\partial u_1} & \dots & \frac{\partial f_1}{\partial u_n} \\ \vdots & \ddots & \vdots \\ \frac{\partial f_m}{\partial u_1} & \dots & \frac{\partial f_m}{\partial u_n} \end{bmatrix}$$

$$\begin{aligned} 0 &= \ddot{x}_{20} \\ 0 &= -\frac{k}{x_{10}^3} + x_{10} x_{30}^2 + u_{10} = 0 \Rightarrow x_{10} = \sqrt[3]{\frac{k}{x_{30}^2}} \Rightarrow x_0 = \begin{bmatrix} \sqrt[3]{\frac{k}{x_{30}^2}} \\ 0 \\ \omega_0 \end{bmatrix} \\ 0 &= -\frac{2x_{20}x_{30}}{x_{10}} + \frac{u_{20}}{x_{10}} \end{aligned}$$

$$A = \begin{bmatrix} 0 & 1 & 0 \\ \frac{2k}{x_{10}^3} + x_{30}^2 & 0 & 2x_{10}x_{30} \\ \frac{2x_{20}x_{30}}{x_{10}^2} - \frac{u_{20}}{x_{10}^2} & -\frac{2x_{20}}{x_{10}} & -\frac{2x_{20}}{x_{10}} \end{bmatrix} = \begin{bmatrix} 0 & 1 & 0 \\ 3\omega_0^2 & 0 & 2\sqrt[3]{k}\omega_0 \\ 0 & -2k^{-1/3}\omega_0^{5/3} & 0 \end{bmatrix}$$

$$B = \begin{bmatrix} 0 & 0 \\ 1 & 0 \\ 0 & \frac{1}{\omega_0} \end{bmatrix} = \begin{bmatrix} 0 & 0 \\ 1 & 0 \\ 0 & \left(\frac{k}{\omega_0^2}\right)^{1/3} \end{bmatrix}$$

$$\det(SI - A) = \det(\lambda I - A) = 0$$

$$\det \begin{pmatrix} \lambda & -1 & 0 \\ -3\omega_0^2 & \lambda & -2(k\omega_0)^{1/3} \\ 0 & 2k^{1/3}\omega_0^{5/3} & \lambda \end{pmatrix} = 0 \Leftrightarrow \lambda^3 - 3\omega_0^2\lambda + \lambda 4k^{1/3}\omega_0^{5/3} \left(\frac{k}{\omega_0^2}\right)^{1/3} = 0$$

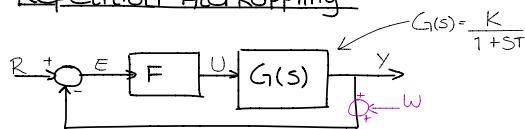
$\omega_0^{5/3} = \omega_0^2$

$$\lambda^3 - 3\omega_0^2\lambda + 4\omega_0^2\lambda = 0$$

$$\lambda^3 + \omega_0^2\lambda = 0 \quad \lambda_1 = 0$$

$$\lambda(\lambda^2 + \omega_0^2) = 0 \Rightarrow \lambda_{2,3} = \pm j\sqrt{\omega_0^2} = \pm j\omega_0$$

Repetition Återkoppling



P-regulator: $F(s) = K_P \Rightarrow U(s) = K_P(E(s)) = K_P(R(s) - Y(s))$

Om K_P ökar: Snabbare system
 Minskning av kvarstående fel. (Alltid ett kvarstående fel)
 Minska inverkan från störningar.
 Större styrsignal
 Större känslighet för mätbrus

Kvarstående fel kan tas bort med I-verkan.

PI-regulator: $F(s) = \frac{K_P s + K_I}{s} \Rightarrow U(s) = K_P E(s) + \frac{K_I}{s} E(s)$, $\frac{Y(s)}{R(s)} = \dots = \frac{\frac{K}{T}(K_P s + K_I)}{s^2 + \frac{1+K_P K}{T} s + \frac{K_I K}{T}}$
 Kan jämf med generellt 2:a ordningens system $G(s) = \frac{K}{s^2 + 2\zeta\omega_n s + \omega_n^2}$
 $\omega_n = \sqrt{\frac{K_I K}{T}}$, $\zeta = \frac{1+K_P K}{2T\omega_n}$

Om K_P ökar, K_I fix: Större dämpning, ζ ökar.
 Om K_I ökar, K_P fix: Snabbare system, ω_n ökar, men dämpningen minskar.

PID-regulator: $F(s) = K_P + \frac{K_I}{s} + K_D s$, $\frac{Y(s)}{R(s)} = \dots = \frac{K(K_P s + K_I + K_D s^2)}{(T + K_D K) s^2 + \frac{1+K_P K}{T} s + \frac{K_I K}{T}}$
 Ytterligare frihetsgrader

K_D ökar: Systemet blir snabbare
 Systemet blir än mer känsligt för mätstörningar.

Stabilitet

Huruvida ett system är stabilt eller ej kan bestämmas mha: Lösa karakteristiska eku. $1+L(s)=0$
 Simulera
 Routh-Hurwitz
 Rotort (S.224)
 Nyquistkriteriet

Routh-Hurwitz

KE: $1+L(s)=0 \Rightarrow a_0 s^n + a_1 s^{n-1} + \dots = 0$

s^n	a_0	a_2	a_4	a_6	\dots	0
s^{n-1}	a_1	a_3	a_5	a_7	\dots	0
s^{n-2}	c_0	c_1				
\vdots						
s^0	d_0					

$$c_0 = \frac{a_1 a_2 - a_2 a_0}{a_1}$$

$$c_1 = \frac{a_1 a_4 - a_2 a_3}{a_1}$$

$$d_0 = \frac{c_0 a_3 - c_1 a_1}{c_0}$$

Om alla har samma tecken \Rightarrow Stabilt!
 Antal teckenväxlingar \Rightarrow Antalet poler!

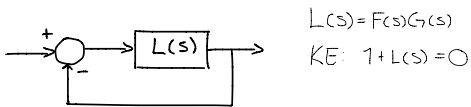
Ex $3s^4 + 2s^3 - s + 2 = 0$

s^4	3	0	2	$a = \frac{2 \cdot 0 - (-1 \cdot 3)}{2} = \frac{3}{2}$
s^3	2	-1	0	
s^2	a	b	0	
s	$\frac{7}{3}$	0	0	
s^0	2	0	0	

Teckenväxling, 2 ggr! Instabilt med två poler i HHP.

Matlab: roots => $-0.85 \pm 0.70i$
 $0.52 \pm 0.53i$

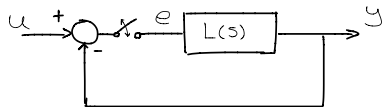
Nyquistkriteriet



Frekvenstroget LTI-system

Om vi skickar in en sinusignal i ett LTI-system kommer utsignalen vara $y = |L(j\omega)| \sin(\omega t + \phi)$
 $\phi = \arg\{L(j\omega)\}$. Alla LTI-system är frekvenstroget och detta nyttjar Nyquistkriteriet.

Tankeexperiment



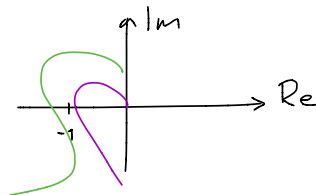
1. Injicera störningen $e(t) = \sin(\omega t)$
2. Invänta stationaritet (kräver att $L(s)$ = stabilt)
 $y(t) = |L(j\omega)| \sin(\omega t + \arg\{L(j\omega)\})$
3. Koppla om switchen, har vi självsvingning?
 Om signalen försvinner är systemet stabilt.
 Vi får självsvingning om $|L(j\omega)| = 1$ och $\arg\{L(j\omega)\} = -\pi = -180^\circ$.

Om: $|L(j\omega)| < 1 \Rightarrow$ Stabilt
 $|L(j\omega)| > 1 \Rightarrow$ Instabilt.
 $|L(j\omega)| = 1 \Rightarrow$ Marginellt stabilt.

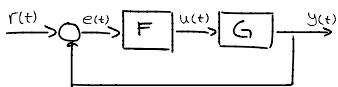
Det faktiska kriteriet (fäst förenklat)

Om $L(s)$ är stabilt (ok med poler på imaginäraxeln) så är det återkopplade systemet $1 + L(s)$ stabilt om $L(j\omega)$, $\omega \in [0, \infty)$ passerar till höger om den kritiska punkten: -1.

$L(j\omega)$ Stabilt
 $L(j\omega)$ Instabilt



Återkopplade System

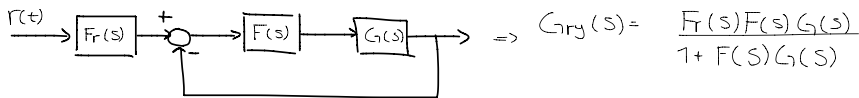


$$L(s) = F(s)G(s)$$

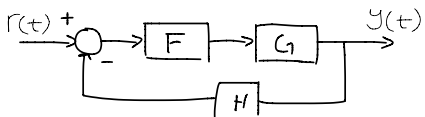
$$G_{ry}(s) = \frac{D(s)}{1+L(s)} = \frac{L(s)}{1+L(s)}$$

Polerna ges av: $1+L(s)=0$
 Detta kallas karakteristiska ekvationen.

Observera

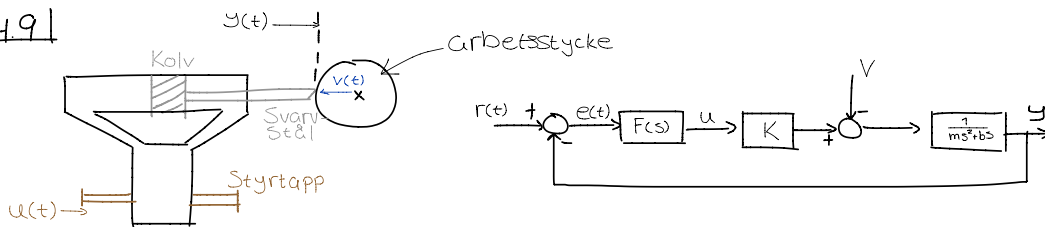


$$\Rightarrow G_{ry}(s) = \frac{F_r(s)F(s)G(s)}{1+F(s)G(s)}$$



$$G_{ry}(s) = \frac{FG}{1+FGH}$$

4.9 |



Sökt

Kvarstående fel vid konstant $v(t) = V_0$ för a) p-reg
 b) PI-reg

Lösning

$$G_{ve}(s) = \frac{E(s)}{V(s)} = \frac{\text{Fram}}{1+Krets} = \frac{D(s)}{1+L(s)} = \frac{1}{ms^2+bs} \cdot \frac{1}{ms^2+bs} = \frac{1}{ms^2+bs+K}$$

$$V(s) = \frac{V_0}{s}$$

a) $F(s) = K_p \Rightarrow E(s) = \frac{1}{ms^2+bs+K_p K} \cdot \frac{V_0}{s}$

$$\lim_{t \rightarrow \infty} e(t) = \lim_{s \rightarrow 0} sE(s) = s \left(\frac{1}{ms^2+bs+K_p K} \cdot \frac{V_0}{s} \right) = \frac{V_0}{K_p K}$$

b) $F(s) = \frac{K_p s + K_i}{s} \Rightarrow E(s) = \frac{1}{ms^2+bs+K(K_p s + K_i)} \cdot \frac{V_0}{s} = \frac{V_0}{ms^2+bs+K(K_p s + K_i)}$

$$\lim_{t \rightarrow \infty} e(t) = \lim_{s \rightarrow 0} sE(s) = \frac{sV_0}{ms^2+bs+K(K_p s + K_i)} = 0$$

4.25 |

Givet
 $F(s) = K \left(1 + \frac{1}{Ts}\right)$
 $G(s) = \frac{3}{1+2s}$

Sökt
 a) Bestäm K, T så det slutna systemet får en dubbelpol
 i $s = -1$.

Lösning

Polpolynom: $P(s) = \prod_{i=1}^n (s - p_i) = 0$, n : antalet poler.

Dubbelpol, $s = -1$, $\Rightarrow n = 2 \Rightarrow P(s) = (s - (-1))(s - (-1)) = (s+1)^2 = s^2 + 2s + 1 = 0$

Karaktäristiska ekvationen: $1 + L(s) = 0 \Leftrightarrow 1 + \frac{3}{1+2s} \cdot K \left(\frac{Ts+1}{Ts}\right) = 0 \Leftrightarrow \frac{(1+2s)Ts + 3K(Ts+1)}{(1+2s)Ts} = 0 \Leftrightarrow$

$$(1+2s)Ts + 3K(Ts+1) = 0 \Leftrightarrow s^2 2T + s(T + 3TK) + 3K = 0 \Leftrightarrow$$

$$s^2 + s \left(\frac{1+3K}{2}\right) + \frac{3K}{2} = 0$$

Jmf med $P(s)$!

$$\begin{cases} \frac{1+3K}{2} = 2 \Rightarrow K = 1 \\ \frac{3K}{2} = 1 \end{cases} \Rightarrow T = \frac{3}{2}$$

$$F(s) = 1 \left(1 + \frac{1}{\frac{3}{2}s}\right)$$

b) Sökt

Det slutna systemet ska få $\xi = 0.7$, $\omega_n = 1$

Lösning

Jmf koef i KE med koef i $s^2 + 2\xi\omega_n s + \omega_n^2 =$

$$\begin{cases} \frac{1+3K}{2} = 2\xi\omega_n \Rightarrow K = 0.6 \\ \frac{3K}{2} = \omega_n^2 \end{cases} \Rightarrow T = 0.9$$

$$F(s) = 0.6 \left(1 + \frac{1}{0.9s}\right)$$

Repetition

Föregående föreläsning kollade vi på olika sätt att kolla huruvida ett slutet system är stabilt eller ej. Detta gjorde vi genom:

- Lösa KE: $1+L(s)=0$ (Vi söker poler i VHP)
- Simulera
- Routh-Hurwitz, relaterar till KE: $a_0s^n+a_1s^{n-1}+\dots=0$ Syftar inte till att lösa KE, utan till att finna om det finns poler i HHP, samt hur många.
- Rotort (finns i boken)
- Nyquistkriteriet (förenklade och fullständiga)

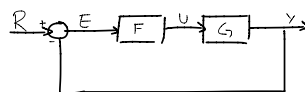
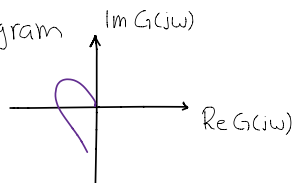
Frekvenstrogenhet

"Sinus in ger (förstärkt och färförskjuten) sinus ut."

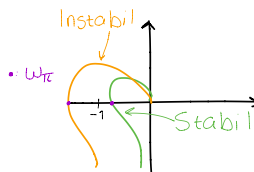
$$\sin(\omega t) \rightarrow \boxed{G} \rightarrow |G(j\omega)| \sin(\omega t + \arg\{G(j\omega)\})$$

Frekvens-/

Nyquistdiagram



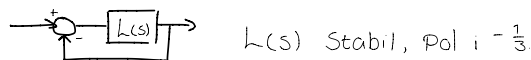
Stabilt om $|h(j\omega_\pi)| < 1$
 Instabilt om $|h(j\omega_\pi)| > 1$
 (Marginellt stabilt om $= 1$)



Förenklade NK

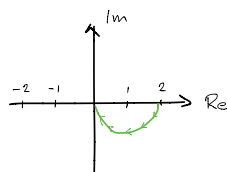
Om $L(s)$ är stabil (inga poler i HHP) är det återkopplade systemet $(1+L(s))$ stabilt om frekvenskurvan passerar till höger om den kritiska punkten $(-1, 0)$.

Ex $L(s) = \frac{2}{3s+1}$



Rita Nyquistdiagrammet $\Rightarrow L(j\omega) = \frac{2}{3j\omega+1} = \frac{2(1-3j\omega)}{(1+3j\omega)(1-3j\omega)} = \frac{2}{1+9\omega^2} + j \frac{6\omega}{1+9\omega^2}$

ω	Re	Im
0	2	0
0.1	1.83	-0.55
0.33	1	-1
∞	0	0



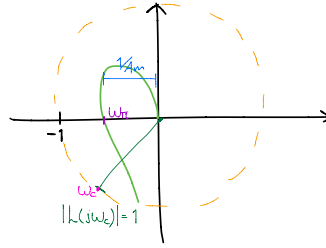
Nyquists förenklade kriteriet säger att det slutna systemet är stabilt.

Stabilitetsmarginaler

Hur säker är vår stabilitet för modellfel?

VIKTIGT!

ω_{TC} : den frekvens som $L(j\omega)$ skär reella axeln.
 Am: Amplitud marginal
 $A_m = \frac{1}{|L(j\omega_c)|}$, $|L(j\omega_c)| = \frac{1}{A_m}$
 Hur mycket förstärkning tål vårt system utan att bli instabilt.



ω_c : den frekvens som $|L(j\omega_c)| = 1$
 ϕ_m : fas marginal
 $\phi_m = 180 + \arg\{L(j\omega_c)\}$
 "Hur mycket extra färförskjutning tål vårt system utan att bli instabilt?"

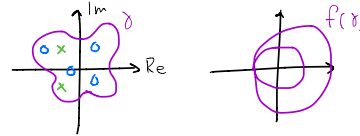
Förenklade Nyquistkriteriet förutsätter att $L(s)$ är stabilt | läbben är ju dock $L(s)$ instabilt, detta kräver att vi använder det fullständiga N-K.

Nyquists Fullständiga Kriterium

Bygger på argumentvariationsprincipen...

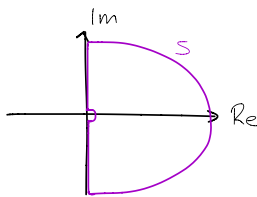
- Antag att:
- δ är en sluten kurva i det komplexa talplanet
 - $f(z)$ är en rationell funktion av två polynom, $f(z) = \frac{Q(z)}{R(z)}$, där Q och R saknar gemensamma faktorer
 - $Q(z) \neq 0$ och $R(z) \neq 0$ för alla punkter på δ .
 - Antal nollställen är Z och antalet poler är P inom δ .

Då är $\Delta_{\delta} \arg f(z) = 2\pi(Z - P) = 2\pi N$
 där N = antal varv som $f(z)$ roterar

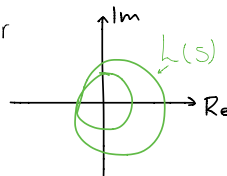


Tillämpning
 $f(s) = 1 + L(s) = 1 + \frac{T(s)}{N(s)} = \frac{N(s) + T(s)}{N(s)}$
 Rationell funktion: $\frac{N(s)+T(s)}{N(s)}$
 Poler till det öppna sys $L(s)$: $N(s)$
 Poler till det slutna systemet: $N(s) + T(s)$
 $\Rightarrow Z - P = (\text{Poler till det slutna systemet}) - (\text{Poler öppna}) = N = (\text{antal varv, medurs kring 0 för } 1+L(s))$

Det är intressant att kika HHP!



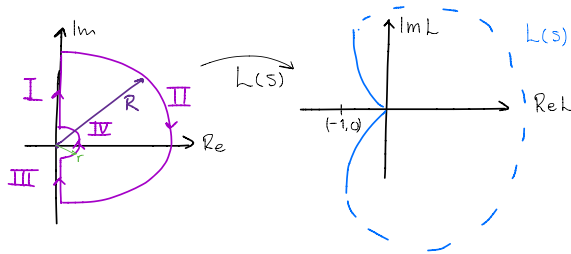
HHP = $\gamma = S$
 Nyquistkontur



$\Rightarrow Z = P + N$
 Om $Z = 0 \Rightarrow$ Stabilt sys.
 N är även antal varv kring -1 för $L(s)$.

Nyquistkriteriet

Nyquist-kontur



- I: $s = j\omega, \omega: 0 \rightarrow \infty$
- II: $s = Re^{j\theta}, R \rightarrow \infty, \theta = [\frac{\pi}{2}, -\frac{\pi}{2}]$
- III: $s = -j\omega, \omega: \infty \rightarrow 0$
- IV: $s = re^{j\theta}, r \rightarrow 0, \theta = [\frac{\pi}{2}, \frac{\pi}{2}]$

$Z = \#$ poler i HHP för det återkopplade systemet.

$P = \#$ poler i HHP för $L(s)$.

$N = \#$ varv som den avbildade kurvan gör medurs kring $(-1, 0)$.

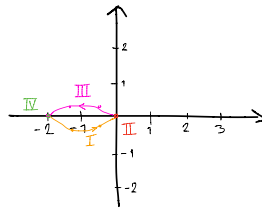
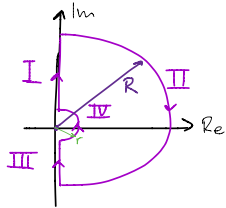
5.13 a)

Skissa Nyquistkontur i $L(s)$ -planet för $L(s) = \frac{4}{(s-1)(s+2)}$

Steg 1: Bestäm P

$P = 1$ ($s = 1$ är en pol)

Steg 2: Avbilda de 4 områdena i Nyquist kontur m. $L(s)$



- I: $s = j\omega, \omega: 0 \rightarrow \infty$
- II: $s = Re^{j\theta}, R \rightarrow \infty, \theta = [\frac{\pi}{2}, -\frac{\pi}{2}]$
- III: $s = -j\omega, \omega: \infty \rightarrow 0$
- IV: $s = re^{j\theta}, r \rightarrow 0, \theta = [\frac{\pi}{2}, \frac{\pi}{2}]$

$$I: L(j\omega) = \frac{4}{(j\omega-1)(j\omega+2)} = \frac{4(j\omega-1)(-j\omega+2)}{(j\omega-1)(-j\omega-1)(j\omega+2)(-j\omega+2)} = -\frac{4(\omega^2+2)}{(1+\omega^2)(4+\omega^2)} - j\frac{4\omega}{(1+\omega^2)(4+\omega^2)}$$

ω	$\text{Re}\{L\}$	$\text{Im}\{L\}$
0	-2	0
1	-1.2	-0.4
2	-0.6	-0.2
4	-0.2	-0.04
∞	0	0

II: Förenkla för stora s : $L(s) = \frac{4}{s^2}$, $L(Re^{j\theta}) \rightarrow 0 |_{R \rightarrow \infty}$

III: Använd I, vi har motsatt riktning och en spegling i Re -axeln av område I.

IV: För små s : $L(s) = \frac{4}{(-j\theta)} = -2$

Steg 3: Studera avbildningen. Hur många ggr omslingras $(-1, 0)$ i medurs riktning?

Vi går moturs $\rightarrow 1$ ggr $\Rightarrow N = -1$

$Z = P + N = 1 - 1 = 0 \Rightarrow$ Det återkopplade systemet har inga poler i HHP \Rightarrow Återkopplade sys är stabilt.

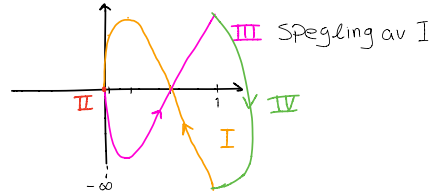
5.13 b) $L(s) = \frac{2+s}{s(2-s)}$

Steg 1: $P=1$ ($s=2$)

Steg 2: I: $s=j\omega, \omega: 0 \rightarrow \infty$

$$L(j\omega) = \frac{2+j\omega}{j\omega(2-j\omega)} = \frac{(2+j\omega)(2+j\omega)(-j)}{j\omega(2-j\omega)(2+j\omega)} = \frac{(2+j\omega)(2+j\omega)^2}{\omega^2(4+\omega^2)} = \frac{4}{4+\omega^2} - j \frac{4-\omega^2}{\omega(4+\omega^2)}$$

ω	0	2	4	10	∞
Re k	1	1/2	0.2	0.03	0
Im k	$-\infty$	0	0.6	0.4	0



II: $s = Re^{j\theta}, R \rightarrow \infty, \theta: \frac{\pi}{2} \rightarrow -\frac{\pi}{2}$
 Stora $s \Rightarrow L(s) = \frac{s}{s(2-s)} \rightarrow 0 \mid_{R \rightarrow \infty}$

IV: $s = re^{j\theta}, r \rightarrow 0, \theta: -\frac{\pi}{2} \cup \frac{\pi}{2}$
 För små s gäller: $L(s) = \frac{2}{2s} = \frac{1}{s}$
 $L(re^{j\theta}) = \frac{1}{re^{j\theta}} = \frac{1}{r} e^{-j\theta} = \begin{cases} \frac{1}{r} e^{j\frac{\pi}{2}}, \theta = -\frac{\pi}{2} \\ \frac{1}{r} e^{-j\frac{\pi}{2}}, \theta = \frac{\pi}{2} \end{cases} \Rightarrow$ Vi snurrar från $\frac{\pi}{2} \rightarrow -\frac{\pi}{2} = \pi \Leftrightarrow 0.5$ varv.

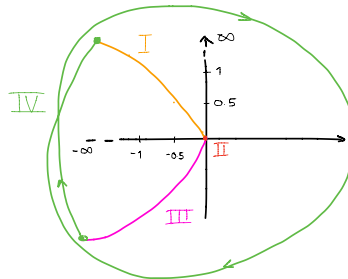
Vid passagen av område IV från $-\frac{\pi}{2} \cup \frac{\pi}{2}$ gör avbildningen en rotation från $+\frac{\pi}{2} \cup -\frac{\pi}{2}$.

Steg 3: $N=0 \Rightarrow Z = P+N = 1+0 = 1 \Rightarrow$ Instabilit!

5.13 c) $L(s) = \frac{1}{s^3(1-s)}$

Steg 1: $P=1, s=1$

Steg 2:



I: $s=j\omega, \omega: 0 \rightarrow \infty, L(j\omega) = \frac{1}{(j\omega)^3(1-j\omega)} = \frac{(-j\omega)^3(1+j\omega)}{\omega^6(1+\omega^2)} = \frac{(j\omega)^3(1+j\omega)}{\omega^6(1+\omega^2)} = \frac{j(1+j\omega)}{\omega^3(1+\omega^2)} = -\frac{1}{\omega^2(1+\omega^2)} + j \frac{1}{\omega^3(1+\omega^2)}$

ω	0	0.75	1	2	∞
Re	$-\infty$	-1.1	-0.5	-0.05	0
Im	$+\infty$	1.5	0.5	0.02	0

II: $s = Re^{j\theta}, R \rightarrow \infty, \theta: \frac{\pi}{2} \rightarrow -\frac{\pi}{2}$
 För stora $s: L(s) = \frac{1}{s^4} \rightarrow 0 \mid_{R \rightarrow \infty}$

III: $s = re^{j\theta}, r \rightarrow 0, \theta: -\frac{\pi}{2} \cup \frac{\pi}{2}$
 Små $s \Rightarrow L(s) = \frac{1}{s^3}$
 $L(re^{j\theta}) = \frac{1}{r^3 e^{j3\theta}} = \frac{1}{r^3} e^{-j3\theta} = \begin{cases} \frac{1}{r^3} e^{j\frac{3\pi}{2}}, \theta = -\frac{\pi}{2} \\ \frac{1}{r^3} e^{-j\frac{3\pi}{2}}, \theta = \frac{\pi}{2} \end{cases} \Rightarrow$ Rotation på $\frac{3\pi}{2} - (-\frac{3\pi}{2}) = 3\pi \Leftrightarrow 1.5$ varv

Steg 3: $N=2 \Rightarrow Z = P+N = 1+2 = 3 \Rightarrow$ Instabilit!

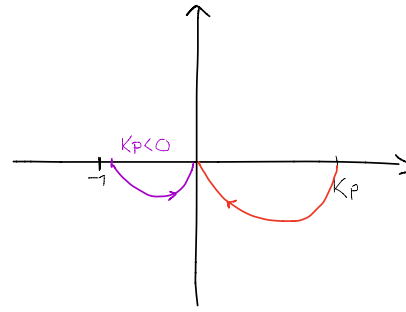
Frekvensanalys

Ex Nyquistdiagram

$$F(s) = K_p, G(s) = \frac{1}{1+sT} \Rightarrow L(s) = F(s)G(s)$$

$$L(j\omega) = \frac{K_p}{1+j\omega T} = \frac{K_p(1-j\omega T)}{(1+j\omega T)(1-j\omega T)} = \frac{K_p}{1+(\omega T)^2} - j \frac{K_p \omega T}{1+(\omega T)^2}$$

ω	0	\propto	β	γ	∞
Re	K_p	+a	+b	+c	0
Im	0	-g	-f	-h	0



Systemet är stabilt för $K_p > -1$.

Bodediagram

Ett annat sätt att studera systemegenskaper där vi även får in frekvensberoende är bodediagram.

Man studerar i dessa: $\begin{cases} 20 \log |G(j\omega)| \\ \arg\{G(j\omega)\} \end{cases}$

Ex

$$G(s) = \frac{1}{1+sT}, G(j\omega) = \frac{1}{1+j\omega T}$$

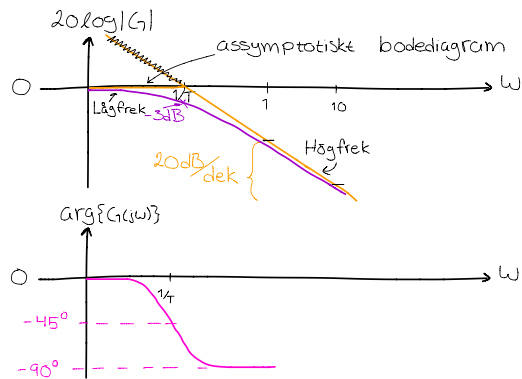
$$\omega T \ll 1 \Rightarrow G(j\omega) \approx 1 \Rightarrow \begin{cases} 20 \log |G(j\omega)| = 20 \log(1) = 0 \text{ dB} \\ \arg\{G(j\omega)\} = 0 \end{cases}$$

$$\omega T \gg 1 \Rightarrow G(j\omega) \approx \frac{1}{j\omega T} \Rightarrow \begin{cases} 20 \log |G(j\omega)| = 20 \log(\frac{1}{\omega T}) \\ \arg\{G(j\omega)\} = -\arctan(\omega T) = -\frac{\pi}{2} \end{cases}$$

$\omega = \frac{1}{T}$: Brytfrekvens

$$|G(j\frac{1}{T})| = \left| \frac{1}{1+j} \right| = \frac{1}{\sqrt{1+1}} = \frac{1}{\sqrt{2}}$$

$$20 \log |G(j\frac{1}{T})| = -3 \text{ dB}$$

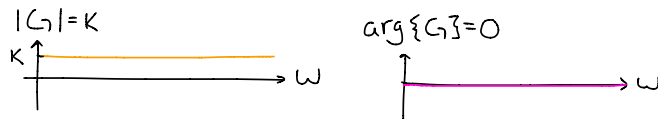


Viktig motivering

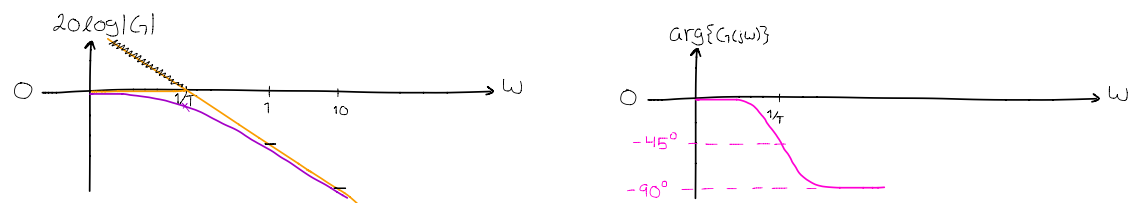
Anta $G(s) = \frac{T_1(s)T_2(s)\dots}{N_1(s)N_2(s)\dots} \Rightarrow$ 1) $20 \log |G| = \sum_{k=1}^n (20 \log |T_k(j\omega)| - 20 \log |N_k(j\omega)|) \Rightarrow$ Summera bidrag i Bodediagram.
 2) $\arg\{G(j\omega)\} = \sum_{k=1}^n (\arg\{T_k(j\omega)\} - \arg\{N_k(j\omega)\}) \Rightarrow$ Summera bidrag i Bodediagram

Varika faktorer är intressanta att studera?

① $G(s) = K$

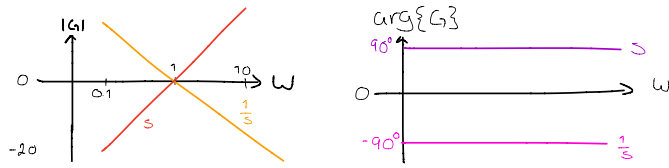


② $G(s) = \frac{1}{1+sT}$ (Samma som ovan)



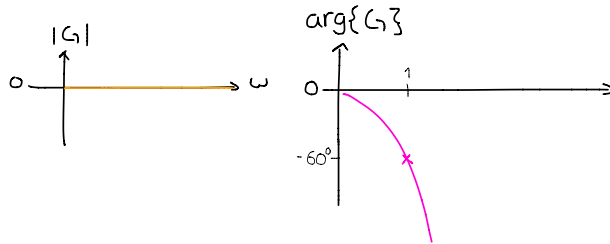
③ $G(s) = \frac{1}{s}$, samt $G(s) = s$

$20 \log |G(j\omega)| = -20 \log(\omega)$ $\arg\{G(j\omega)\} = -\arctan(\frac{\omega}{\omega}) = -\frac{\pi}{2}$



④ $G(s) = e^{-sT}$ (tidsfördröjning av en signal)

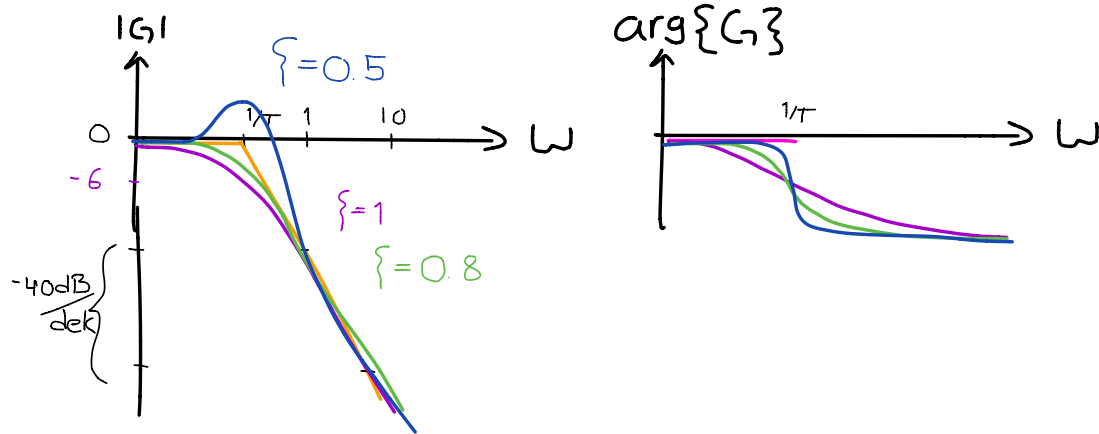
$20 \log |G(j\omega)| = 20 \log(1) = 0$ $\arg\{G(j\omega)\} = -\omega T$



⑤ $G(s) = \frac{\omega_n^2}{s^2 + 2\zeta\omega_n s + \omega_n^2} = \frac{1}{1 + 2\zeta Ts + s^2 T^2}$, $T = \frac{1}{\omega_n}$, $0 < \zeta < 1$

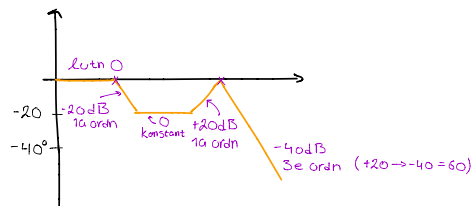
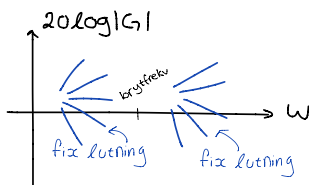
$\omega T \ll 1$: $20 \log |G(j\omega)| = 0$
 $\arg\{G(j\omega)\} = 0$

$\omega T \gg 1$: $20 \log |G(j\omega)| \approx 40 \log \frac{1}{\omega} = -40 \log \omega$
 $\arg\{G(j\omega)\} = -180^\circ$



Sammanställning

Alla bidrag ser i princip ut som:

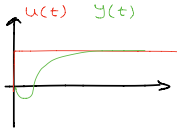


Många brytpunkter: Börja från vänster, gör tabell för argumenten.

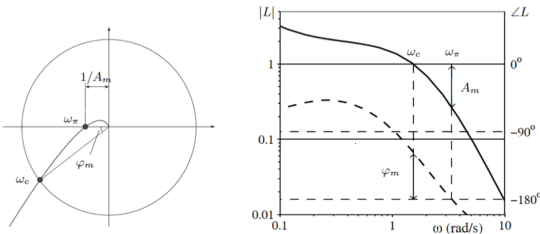
Frekvensanalys - Bodediagram

$G(s) = 1 \Rightarrow 20 \log |G(j\omega)| = 0$ $\arg\{G(j\omega)\} = 0$
 $G(s) = \frac{1-sT}{1+sT} \Rightarrow \text{---} \parallel \text{---} = 0$ $\text{---} \parallel \text{---} = -2 \arctan(\omega T)$
 $G(s) = e^{-sT} \Rightarrow \text{---} \parallel \text{---} = 0$ $\text{---} \parallel \text{---} = -\omega T$

$\frac{1-sT}{1+sT}$ kallas "icke-minimfas" system. Dessa system har nollställe i HHP.



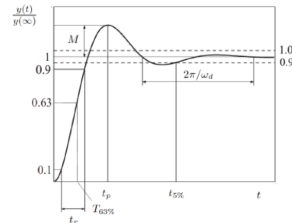
Stabilitetsmarginaler



Specifikationer i tidsplanet

Begrepp som är viktiga för att beskriva insvängningen av ett stegsvar:

- Stigtiden t_r (eng. rise time)
- Insvängningstiden $t_{s\%}$ (settling time)
- Ekvivalent tidskonstant $T_{63\%}$
- (Relativ) översläng M (overshoot)
- Dämpad självsvängningsfrekvens $\sqrt{1-\zeta^2}\omega_n$



Specifikationer i frekvensplanet

Fasmarginal

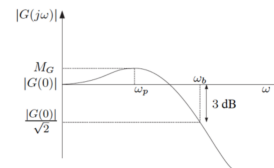
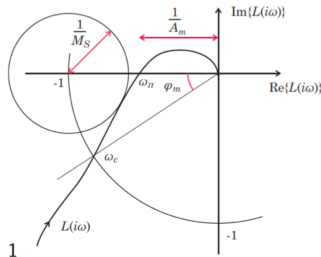
$\varphi_m = 180^\circ + \arg L(j\omega_c)$

Amplitudmarginal

$A_m = 1/|L(j\omega_\pi)|$

Max känslighetsfunktion

$\max_\omega |S(j\omega)| < M_s, \quad S = \frac{1}{1+L}$

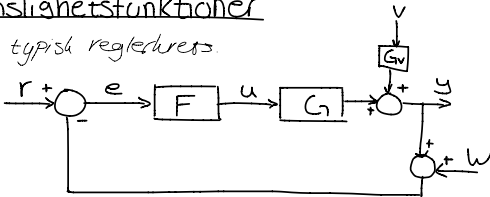


- ▶ Maxvärde eller resonansstopp $M_G = \max_\omega |G(j\omega)|$
- ▶ Resonansstoppen ligger vid resonansfrekvensen ω_p ; $|G(j\omega_p)| = M_G$
- ▶ Bandbredden ω_b definieras av

$\frac{|G(j\omega_b)|}{|G(0)|} = \frac{1}{\sqrt{2}} = -3 \text{ dB}$

Känslighetsfunktioner

En typisk reglerkrets.



$L(s) = F(s)G(s)$ (Kretsöverföring)

Vi har möjlighet att påverka systemet genom att modellera $F(s)$, regulatorn.

$G(s)$ är vår modell eller verkliga process.

Definiera känslighetsfunktioner: $S(s) = \frac{1}{1+L(s)}$

Komplementära KF: $T(s) = 1 - S(s) = \frac{L(s)}{1+L(s)}$

$Y(s) = T(s)(R(s) - W(s)) + S(s)G_v(s)V(s)$

$E(s) = S(s)(R(s) - W(s) - G_v(s)V(s))$

$U(s) = F(s)S(s)(R(s) - W(s) - G_v(s)V(s))$

Regulatordimensionering handlar alltså om att bestämma: $S(s), T(s), G_v(s)S(s), F(s)S(s)$

UPPGIFTER FÖR ÅTERKOPPLINGEN

① Att utsignalen följer vår referenssignal! ($r=y$)

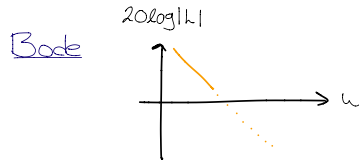
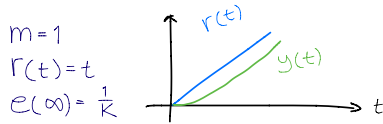
$$Y(s) = T(s)R(s) \Rightarrow Y(s) = R(s) \Rightarrow T(s) = 1$$

$$E(s) = S(s)R(s) \Rightarrow S(s) = 0 \quad (T(s) = 1 - S(s) = 1 - 0 = 1)$$

Ex $r(t) = \sigma(t) \Rightarrow \lim_{t \rightarrow \infty} e(t) = \lim_{s \rightarrow 0} sE(s) = \lim_{s \rightarrow 0} s(S(s)R(s)) = S(0) = \frac{1}{1+K(0)}$

Om $L(0) = \infty \Rightarrow e(\infty) = 0$

dvs: $L(s) = \frac{K}{s^m} = \frac{(1+b_1s+b_2s^2+\dots)}{(1+a_1s+a_2s^2+\dots)}$ (m: typsiffror) Om $m \geq 1 \Rightarrow$ integralverkan



② Ta bort processstörningar

I det oreglerade fallet fös: $Y(s) = G_V(s)V(s)$

— " — reglerade — " — : $Y(s) = G_V(s)V(s)S(s)$

Genom att sätta $S(s) = 0$ kan vi ta bort inverkan av processstörningar

③ Reducera inverkan av parametervariationer

$$T = \frac{L}{1+L} = \frac{FG}{1+FG}$$

Anta att $G = G_1 + dG$

$$\frac{dT}{dG} = \frac{F(1+FG) - FG(F)}{(1+FG)^2} = \frac{F}{(1+FG)^2} = \frac{FG}{G(1+FG)^2} = \frac{\overbrace{FG}^T}{G(1+FG)} \cdot \frac{\overbrace{1}^S}{1+FG} = \frac{T}{G} S \Rightarrow \frac{dT}{dT} = S$$

Om S är liten \Rightarrow liten känslighet för variationer av parametrar.

① \rightarrow ③ har lett till önskemålet att $S(s)$ ska vara liten. Detta åstadkoms av ett stort $L(s)$: $S(s) = \frac{1}{1+L(s)}$, $L(s)$ stor \Rightarrow hög förstärkning. Detta leder i sin tur till ett mindre stabilt system.

④ Begränsa inverkan av mätbrus/mätstörningar

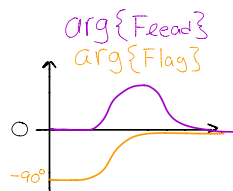
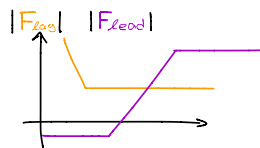
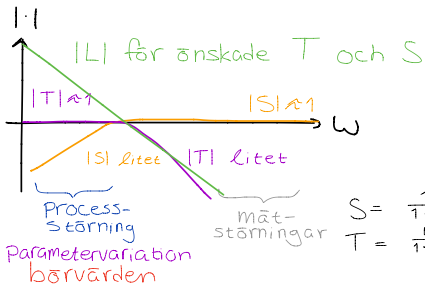
$$Y(s) = -T(s)W(s) \Rightarrow \text{Vi önskar } T(s) = 0 \text{ men då "pajar vi } S(s) \text{"}$$

"Konflikt med börvärdesföljning."

⑤ Styrsignal

$$U(s) = F(s)S(s)(R(s) - W(s)G_V(s)V(s)) = \frac{T}{G}(R - W - G_V V)$$

Idé, separera i frekvensplanet



Design i frekvensplanet

Modifisering av kretsöverföringen i vissa frekvensintervall kan åstadkommas med ex:

► En fasretarderande länk (lagfilter) ger hög förstärkning för låga frekvenser:

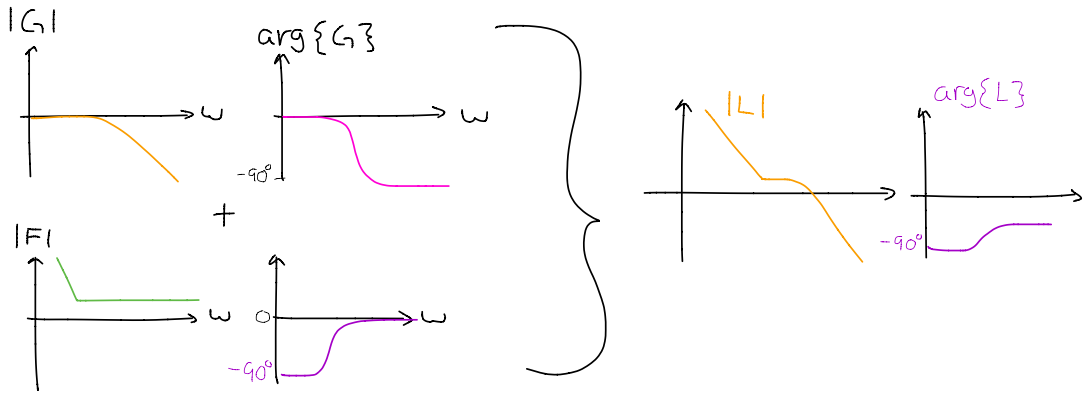
$$F(s) = a \frac{1+sT}{1+asT}, \quad a > 1$$

Uttrycket fasretarderande kommer av att en negativ fasförskjutning fås, framför allt inom frekvensintervallet $[1/aT, 1/T]$. En PI-regulator fås i extremfallet då $a = \infty$.

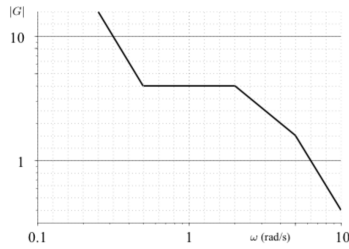
► En fasavancerande länk (leadfilter) ger ett positivt fastillskott inom frekvensintervallet $[1/T, b/T]$:

$$F(s) = \frac{1+sT}{1+sT/b}, \quad b > 1$$

En PD-regulator fås i extremfallet $b = \infty$.



Övningstal 5.3 (pt6)



För en stabil överföringsfunktion $G(s)$ utan död tid och ~~minfas~~ nollställen gäller ovanstående asymptotiska beloppkurva. Bestäm $G(s)$.

Faktorisera $G(s) = \frac{K C_1(s) C_2(s) \dots C_k(s)}{s D_1(s) D_2(s) \dots D_l(s)}$, $C_i(s)$ och $D_i(s)$ ges av: $1 + \frac{s}{\omega_i}$: 1a ordn länk
 $1 + \frac{2\zeta s}{\omega_n} + (\frac{s}{\omega_n})^2$: komplex konj. rotpar
 $e^{-\frac{s}{\tau}}$: död tid
 ω_i : Brytpunkt

$\bar{G}(s) = \frac{C_1(s) C_2(s) \dots C_k(s)}{D_1(s) D_2(s) \dots D_l(s)}$, $\bar{G}(0) = 1$ (5.15, s.179) $G(s) = \frac{K}{s^m} \bar{G}(s)$

$G_{LF} = \frac{K}{s^2} = \frac{K}{s^2}$

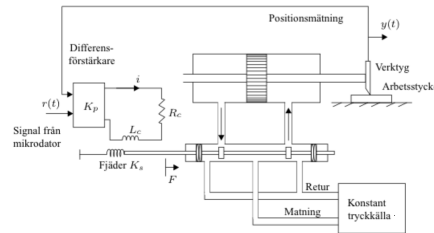
$$|G_{LF}| = \left| \frac{K}{s^2} \right| \Rightarrow K = |G_{LF}| \cdot |s|^2 = 4 \cdot \omega^2 = 4 \cdot (0.5)^2 = 1 \Rightarrow G_{LF}(s) = \frac{1}{s^2}$$

3 brytpunkter: $\omega_1 = 0.5 \frac{\text{rad}}{\text{s}}$ riktningssändring $[+2] \Rightarrow$ KKRP: $1 + \frac{2\zeta s}{0.5} + (\frac{s}{0.5})^2$
 $\omega_2 = 2 \frac{\text{rad}}{\text{s}}$ " " " $[-1] \Rightarrow$ enkel pol $(1 + \frac{s}{2})^{-1}$
 $\omega_3 = 5 \frac{\text{rad}}{\text{s}}$ " " " $[-1] \Rightarrow$ " " " $(1 + \frac{s}{5})^{-1}$

$$G(s) = \frac{1}{s^2} \cdot \frac{1 + \frac{2\zeta s}{0.5} + (\frac{s}{0.5})^2}{(1 + \frac{s}{2})(1 + \frac{s}{5})}$$

Övningstal 5.16 (pst14)

En numeriskt styrd verktygsmaskin får kommandosignal (referenssignal) från en mikrodonator. Systemet enligt figur studeras i en dimension $y(t)$.



För differentialsförstärkaren (P-regulator) gäller att utsignalen

$$U(s) = K_p[R(s) - Y(s)]$$

där $K_p = 0.2$, och solenoidkretsen har överföringsfunktionen

$$\frac{I(s)}{U(s)} = \frac{1}{R_c + sL_c}$$

där $R_c = 0.1 \Omega$ och $L_c = 0.2 \text{ H}$. Kraften F på den nedre axeln (magnetspole) antas vara proportionell mot strömmen, d.v.s. $F(t) = K_2 i(t)$ där $K_2 = 3.0$. Antag också att överföringen från kraften $F(t)$ till utsignalpositionen $y(t)$ är

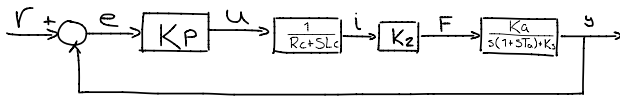
$$\frac{Y(s)}{F(s)} = \frac{K_a}{s(1 + sT_d) + K_s}$$

där $T_d = 0.5 \text{ s}$, $K_a = 1.0$ och $K_s = 2.0$ (fjäderkonstant)

Rita Bodediagram för den öppna kretsöverföringen och bestäm fasmarginen φ_m , samt uppskatta stigtiden t_r , med hjälp av överkorsningsfrekvensen ω_c .

a) a, b, c

1. Rita blockschema för att lättare hitta $L(s)$.



$$L(s) = K_p \cdot \frac{1}{R_c + sL_c} \cdot K_2 \cdot \frac{K_a}{s(1 + sT_d) + K_s} = \frac{K_p K_a K_2}{(R_c + sL_c)(1 + sT_d + sK_s)} = \frac{0.6}{(0.1 + 0.2s)(0.5s^2 + s + 2)}$$

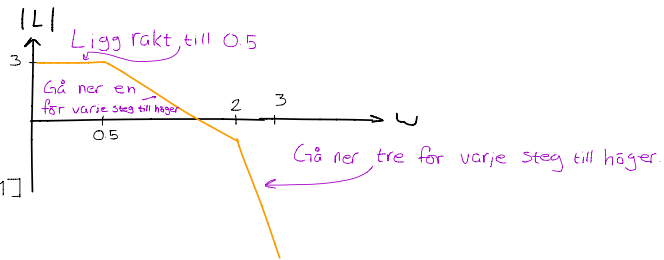
$$\text{Skriv om på de tre kända formerna: } \Rightarrow \frac{0.6}{s(1+2s)2((\frac{s}{2})^2 + \frac{s}{2} + 1)} = \frac{3}{(1+2s)((\frac{s}{2})^2 + \frac{s}{2} + 1)}$$

2. Rita bodediagram

- $G_LF(s) = 3$ (ingen lutning)
- Brytfrekvenser: $\omega_1 = 0.5$, $\omega_2 = 2$

$$\omega_1: (1 + \frac{s}{0.5})^{-1} \Rightarrow \text{riktningsändring } [-1]$$

$$\omega_2: ((\frac{s}{2})^2 + \frac{s}{2} + 1)^{-1} \Rightarrow [-2]$$



3: Inför korrigeringar vid $0.5\omega_i$, ω_i , $2\omega_i$.

ω_i	0.5	1	2		$\omega_2: s^2 + 2s + 4 = 0 \Rightarrow s^2 + 2s + 4 = 0 \Rightarrow \omega_n = \sqrt{4} = 2$
ω_1	-1dB	-3dB	-1dB		$\zeta = \frac{1}{\omega_n} = 0.5$
ω_2	+1dB	0dB	+1dB		

ω	0.25	0.5	1	2	4
ω_1	-1dB	-3dB	-1dB		
ω_2			+1dB	0dB	+1dB
	-1dB	-3dB	0dB	0dB	+1dB

Rita nu om det asymptotiska bodediagrammet med korrigeringar. Det är omöjligt utan linjal och log-papper.

Rita faskurvan

$$\angle L(j\omega) = \angle 3 - \angle 1 + \frac{j\omega}{0.5} - \angle \left(\frac{j\omega}{2} \right)^2 + \frac{j\omega}{2} + 1 = 0 - \tan^{-1}\left(\frac{\omega}{0.5}\right) - \tan^{-1}\left(\frac{\omega}{1 - \frac{\omega^2}{4}}\right) = \begin{cases} -\tan^{-1}\left(\frac{\omega}{0.5}\right) - \tan^{-1}\left(\frac{\omega}{1 - \frac{\omega^2}{4}}\right), & \omega \leq 2 \\ -\tan^{-1}\left(\frac{\omega}{0.5}\right) - \left(\tan^{-1}\left(\frac{\omega}{1 - \frac{\omega^2}{4}}\right) + \pi\right), & \omega > 2 \end{cases}$$

ω	0.1	0.2	0.5	1	1.5	2	2.5	5	10
$\angle L(j\omega)$	-14°	-28°	-68°	-97°	-131°	-166°	-195°	-239°	-256°

b) Bestäm fasmarginalen φ_m .

$\varphi_m \equiv$ avståndet mellan fasen och 180° sträcket vid överkorsningsfrekvensen ($|H|=0$)

$$\varphi_m = 40^\circ$$

$$\varphi_m = 180 + \arg\{L(j\omega_c)\} = 180 + (-140) = 40.$$

c) Bestäm stigtiden t_r för det återkopplade systemet.

$t_r \omega_c \approx 1$ (ganska fel...) Kalla s. 200!

$$t_r \approx \frac{1}{\omega_c} = \frac{1}{16} = 0.625s. \text{ (eg är } t_r \text{ } 0.775s)$$

Design av PID-regulatorer

P-regulator: $F(s) = K_p$ (höj eller sänk amplitud, påverkar inte argument/fas)

PI-regulator: $F(s) = K_p + \frac{K_i}{s}$ (Ändra amp med K_p/K_i , sänk fäsen med $\frac{K_i}{s}$, $\arg = -90^\circ$)
 $K_p(1 + \frac{1}{T_i s}) = K_p + \frac{K_p}{T_i s} = K_p + \frac{K_i}{s}$

$$F_{lag} = K_p a \frac{1+sT}{1+aST}, a > 1 \quad \text{Om } a \rightarrow \infty \Rightarrow F_{lag} = K_p + \frac{K_i}{s}$$

PD-regulator: $F(s) = K_p + K_d s$ (Vrider fäsen med $\arg = 90^\circ$. Det är jobbigt med denlater så vi lägger till ett filter.)

$$F(s) = K_p + \frac{K_d s}{1+T_f s}$$

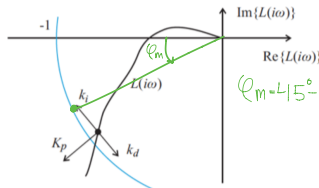
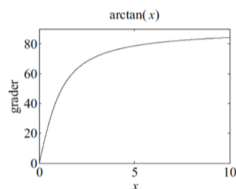
$$F_{lead} = K_p \frac{1+sT_a}{1+sT_b/b}, b > 1 \quad b \rightarrow \infty \Rightarrow \text{ideal PD-reg}$$

PID-regulator: $F(s) = K_p + \frac{K_i}{s} + K_d s = K_p(1 + \frac{1}{T_i s} + T_d s) = K_p \frac{1+sT_i}{1+aST_i} \cdot \frac{1+T_d s}{1+T_f s/b}$

Hur påverkar tuningen?

$$\begin{aligned} F(s) &= K_p(1 + \frac{1}{sT_i} + sT_d) = K_p + \frac{K_i}{s} + K_d s \\ &= K_p(1 + \frac{k_i}{s} + k_d s) = K_p \left(\frac{s + k_i + k_d s^2}{s} \right) \end{aligned}$$

$$\begin{aligned} \arg L(j\omega) &= \arg G(j\omega) - \arg j\omega + \arg(j\omega + k_i - k_d \omega^2) \\ &= \arg G(j\omega) - 90^\circ + \arctan\left(\frac{\omega}{k_i - k_d \omega^2}\right) \end{aligned}$$



$\varphi_m = 45^\circ - 60^\circ$ är eftersträvanvärt

Flytta punkt i Nyquist-/Bodediagram

En vanlig teknik att dimensionera PID-regulatorer är att specificera en punkt på kretsöverföringens frekvenskurva. På detta sätt kan 2 parametrar bestämmas i regulatorn:

1. Specificera en punkt för kretsöverföringen, $L(i\omega_0)$
2. Bestäm parametrarna i regulatorn genom villkoren

$$\begin{aligned} |F(i\omega_0)| &= |L(i\omega_0)|/|G(i\omega_0)| \\ \arg F(i\omega_0) &= \arg L(i\omega_0) - \arg G(i\omega_0) \end{aligned}$$

Ett exempel på detta är att specificera fasmarginal φ_m och skärfrekvens ω_c . OBS! Det finns flera olika varianter av detta, men "grundreceptet" är detsamma enl ovan!

PI-design

PI-regulatorn ges av

$$F(s) = K_p \frac{1 + T_i s}{T_i s}$$

- Specifikation av ω_c och φ_m (Ruta 8.1 i boken):

$$|L(i\omega_c)| = |G(i\omega_c)| K_p \frac{\sqrt{1 + \omega_c^2 T_i^2}}{\omega_c T_i} = 1$$

$$\arg L(i\omega_c) = \arg G(i\omega_c) - 90^\circ + \arctan(\omega_c T_i) = -180^\circ + \varphi_m$$

- Specifikation av ω_π och A_m ger i princip samma som ovan:

$$|L(j\omega_\pi) = |G(j\omega_\pi)| K_p \frac{\sqrt{1 + \omega_\pi^2 T_i^2}}{\omega_\pi T_i} = 1/A_m$$

$$\arg L(j\omega_\pi) = \arg G(j\omega_\pi) - 90^\circ + \arctan(\omega_\pi T_i) = -180^\circ$$

PD-design

En PD-regulator ges av

$$F(s) = K_p \left(1 + \frac{sT_d}{1 + sT_f}\right) = K_p \frac{1 + s(T_d + T_f)}{1 + sT_f} = K_p \frac{1 + \tau_d s}{1 + \tau_d s/b}, \quad b > 1$$

Anta att ω_c och φ_m är specificerade (Ruta 8.3 i boken):

- Bestäm behovet av faslyft vid skärfrekvensen:

$$\varphi_{max} = \varphi_m - (\arg G(i\omega_c) + 180^\circ)$$

$$b = \frac{1 + \sin \varphi_{max}}{1 - \sin \varphi_{max}}$$

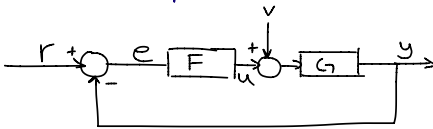
- Placera maximalt faslyft vid $\omega = \omega_c$:

$$\sqrt{b}/\tau_d = \omega_c$$

- Bestäm K_p så att ω_c blir det önskade:

$$|L(j\omega_c)| = K_p \sqrt{b} |G(j\omega_c)| = 1$$

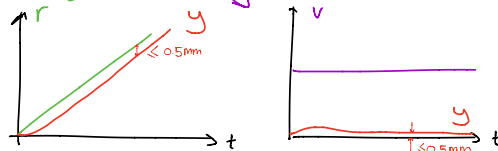
Designexempel



$$G(s) = \frac{3 \cdot 10^4}{s(s^2 + 150s + 10^4)}$$

Krav

- Rampfel ≤ 0.5 mm vid signalsramp 30 mm/s
- Positionsfel ≤ 0.5 mm vid stegstörning på 15 enheter
- Fasmarginal $\varphi_m \geq 45^\circ$



Vi har integrálverkan i G så vi provar med att köra en hederlig P-reg. De två graferna visar att vi vill ha ett litet kvarstående fel och detta borde kunna ordnas med systemets i-verkan.

1) P-regulator

ramp = $\frac{r_0}{s^2} = \frac{30}{s^2}$

$$1) \lim_{t \rightarrow \infty} e(t) = \lim_{s \rightarrow 0} s E(s) = \lim_{s \rightarrow 0} s S(s) R(s) = \lim_{s \rightarrow 0} s \frac{1}{1 + 3K_p} \cdot \frac{30}{s^2} = \lim_{s \rightarrow 0} \frac{30}{s(1 + 3K_p)} = \frac{30}{s^2} = \frac{30}{3K_p} = \frac{10}{K_p} < 0.5$$

$$\Rightarrow K_p \geq 20$$

steg = $\frac{15}{s}$

$$2) \lim_{t \rightarrow \infty} y(t) = \lim_{s \rightarrow 0} s Y(s) = \lim_{s \rightarrow 0} s \frac{G(s)}{1 + K_p G(s)} \cdot V(s) = \lim_{s \rightarrow 0} s \frac{\frac{3 \cdot 10^4}{s(s^2 + 150s + 10^4)}}{1 + \frac{3 \cdot 10^4 K_p}{s(s^2 + 150s + 10^4)}} \cdot \frac{15}{s} = \lim_{s \rightarrow 0} \frac{3 \cdot 15}{s(1 + 3K_p)} = \frac{15}{K_p} < 0.5 \Rightarrow K_p \geq 30$$

3) $\varphi_m \geq 45^\circ$

$$\varphi_m = 180^\circ + \arg\{L(i\omega)\} =$$

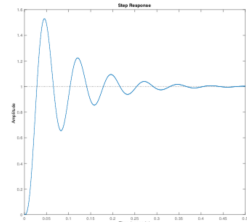
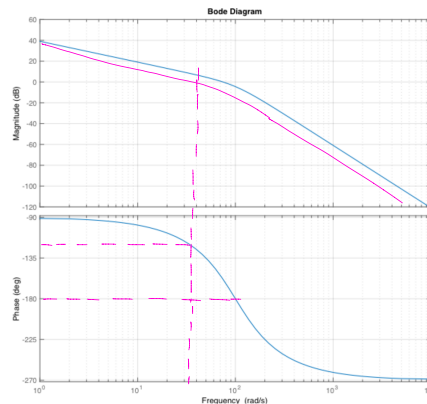
$= 0^\circ$ ty P-reg

$$180^\circ + \arg\{F(i\omega)\} + \arg\{G(i\omega)\} =$$

$$180^\circ + \arg\{G(i\omega_c)\}$$

Bode visar att fasmarginalen $\varphi_m = 25^\circ$

UPPFyller ej Specen!



② Nytt försök, sänk K_p för att få en bra φ_m .

$\varphi_m = 55^\circ$ (lägg till marginal för I -verkan $[10^\circ]$)

Detta ger $\omega_c = 40 \frac{\text{rad}}{\text{s}} \Rightarrow K_p = \frac{30}{2T} \approx 14$ men då klarar vi inte specen ändå.
Skillnad i dB mellan konorna

③ Hög förstärkning för små ω .

$$F_{\text{lag}}(s) = \frac{a(1+sT)}{1+a sT}$$

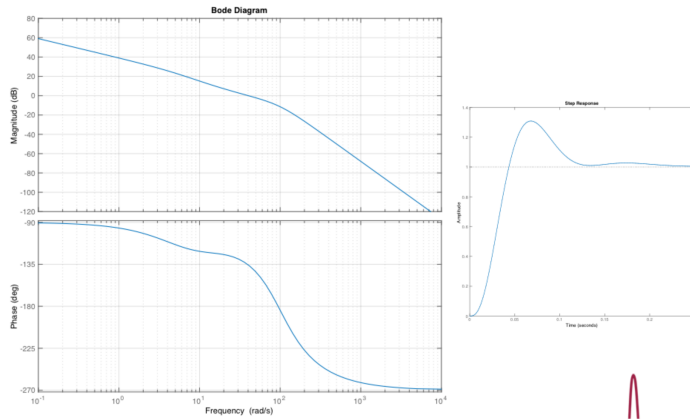
Lågfrekvensförstärkningen för $F_{\text{lag}}(0) = a$ välj a så att $K_p a = 30$ ($a = 21$)

$\arg\{F_{\text{lag}}(j\omega_c)\} = \tan^{-1}(\omega_c T) - \tan^{-1}(a\omega_c T) = -10^\circ$ ← Vår marginal

$T = 0.075$

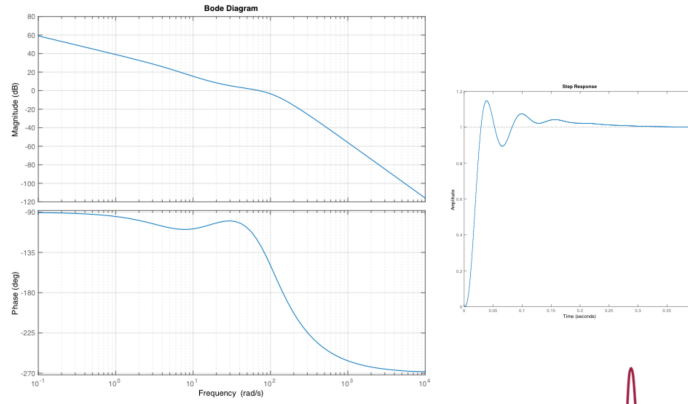
Lag-filter + Process

$F(s) = 30 \left(\frac{1 + 0.075s}{1 + 21 \cdot 0.075s} \right)$



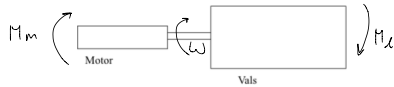
Lag + Lead + Process

Vi kan snabba upp systemet ännu mer! →



Övningstal 6.5 (ppi2)

I denna uppgift skall vi studera motordriften av en vals i ett valsverk (se figur).



Systemet kan förenklat beskrivas av ekvationen

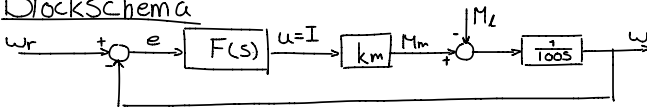
$$J \frac{d\omega}{dt} = M_m - M_L$$

där ω är vinkelhastigheten, J är summan av motorns och valsens tröghetsmoment, samt M_m och M_L är motorns drivande moment respektive lastmoment. Motorns drivande moment ges av $M_m = k_m \cdot I$, där k_m är en motorkonstant och I är motorströmmen. Följande parametervärden gäller: $k_m = 5 \text{ Nm/A}$, $J = 100 \text{ kg m}^2$. Man vill att valsen skall följa en vinkelhastighetsreferens ω_r , och för att uppnå detta återkopplas vinkelhastigheten med en regulator, som styr motorströmmen.

a) Dimensionera en lämplig regulator, som uppfyller följande specifikationer:

- i) Vinkelhastighetsreferensen skall följas utan stationärt fel för konstant lastmoment.
- ii) Ett lastmoment, som växer linjärt med 10 Nm/s skall stationärt ge upphov till ett vinkelhastighetsfel på högst 0.5 rad/s .
- iii) Det slutna systemet skall ha en relativ dämpning $\zeta = 0.7$.

Blockschema



i) Vi vill inte ha något stationärt fel. Vi har visserligen integralverkan i $\frac{1}{100s}$ men Nina vill använda en PI-reg ändå.

Test för P-reg $\rightarrow \frac{E(s)}{M_L(s)} = \frac{1}{1 + K_P K_m \frac{1}{100s}} = \frac{1}{100s + K_P K_m}$, $M_L = \frac{h}{s} \Rightarrow \lim_{s \rightarrow 0} s \left(\frac{1}{100s + K_P K_m} \right) \frac{h}{s} = \frac{h}{K_P K_m}$

$F(s) = \frac{K_i}{s} (1 + T_i s)$ är en PI. Nina säger att den funkar! $K_P (1 + \frac{1}{T_i s}) = \frac{K_P}{T_i s} (T_i s + 1)$

ii) $M_L(t) = 10t \Rightarrow M_L(s) = \frac{10}{s^2}$

$$\frac{E(s)}{M_L(s)} = \frac{\frac{1}{100s}}{1 + \frac{K_i}{s} (1 + T_i s) K_m \frac{1}{100s}} = \frac{1}{100s + \frac{K_i}{s} (1 + T_i s) 5} = \frac{s}{100s^2 + K_i (1 + T_i s) 5}$$

$$\lim_{t \rightarrow \infty} e(t) \leq 0.5 \Rightarrow \lim_{s \rightarrow 0} s E(s) = \lim_{s \rightarrow 0} s \frac{s}{100s^2 + K_i (1 + T_i s) 5} \cdot \frac{10}{s^2} = \frac{10}{5K_i} \leq 0.5 \Rightarrow K_i \geq \frac{10}{5 \cdot 0.5} = 4$$

iii) $G_{\omega_r \omega} = \frac{L(s)}{1 + L(s)} = \frac{\frac{K_i}{s} (1 + T_i s) \frac{5}{100s}}{1 + \frac{K_i}{s} (1 + T_i s) \frac{5}{100s}} = \frac{5K_i (1 + T_i s)}{100s^2 + 5K_i (1 + T_i s)} = \frac{\frac{5}{100} K_i (1 + T_i s)}{s^2 + \frac{5}{100} K_i (1 + T_i s)}$

$$\frac{\frac{5}{100} K_i (1 + T_i s)}{s^2 + \frac{5}{100} K_i s + \frac{5}{100} K_i}, \quad \left. \begin{aligned} \omega_n &= \sqrt{\frac{5K_i}{100}} \\ 2\zeta\omega_n &= \frac{5K_i T_i}{100} \end{aligned} \right\} T_i = \frac{2\zeta\omega_n}{0.05K_i} = \frac{2 \cdot 0.7 \sqrt{0.05K_i}}{0.05K_i} = \frac{2.07}{\sqrt{0.05K_i}}$$

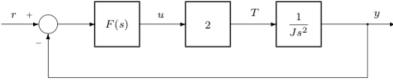
tidigare fick vi $K_i \geq 4 \Rightarrow$

$$T_i < \frac{2.07}{\sqrt{0.05 \cdot 4}} \approx 3.13$$

$$F(s) = \frac{4}{s} (1 + 3.13s)$$

Övningstal 6.8 (ppi9)

När astronauterna Armstrong och Aldrin landsatte mänsklighetens första farkost på månen, hade de god hjälp av ett regelsystem för reglering av attitydvinkeln, se figur. Här är r önskad attitydvinkel, y verklig attitydvinkel, u styrsignal till jetstrålarna och T moment på farkosten. Tröghetsmomentet antas vara $J = 0.25$.



- a) Vilken av följande regulatorer fungerar för denna typ av process: P-PI- eller PD-regulatorn? Motivering krävs.
- b) Dimensionera en regulator, som ger en överkorsningsfrekvens $\omega_c = 5$ rad/s samt en fasmarginal $\varphi_m = 60^\circ$. Placera regulatorns maximala faslyft vid önskad överkorsningsfrekvens.

a) Vi vill lyfta fasan ty systemet $\frac{2}{s^2}$ ger en fas på $-180^\circ \Rightarrow \varphi_m = 0$. D-verkan fixar detta.

b) $\omega_c = 5 \frac{\text{rad}}{\text{s}}$, $\varphi_m = 60^\circ$, Placera reg max faslyft vid ω_c .

$$\sqrt{K_P} \Rightarrow K_P = \frac{1}{\sqrt{|G(j\omega_c)|}}$$

$$F(s) = K_P \left(\frac{1 + T_d s}{1 + T_d s} \right), \quad b = \frac{1 + \sin(\varphi_{\max})}{1 - \sin(\varphi_{\max})}, \quad T_d = \frac{\sqrt{b}}{\omega_c}, \quad |L(j\omega_c)| = 1 = |F(j\omega_c)| |G(j\omega_c)|$$

$$\varphi_{\max} = \text{fasen för } F \text{ vid } \omega_c. \quad \varphi_{\max} = \angle F(j\omega_c) \quad \angle L(j\omega_c) = \varphi_m - 180^\circ = \angle F(j\omega_c) + \angle G(j\omega_c) \Rightarrow$$

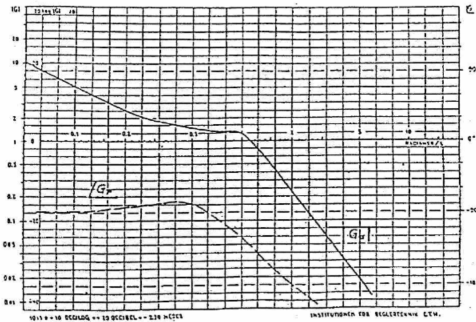
$$\varphi_{\max} = \varphi_m - 180^\circ - \angle G(j\omega_c) = 60^\circ - 180^\circ - (-180^\circ) = 60^\circ$$

$$b = \frac{1 + \sin(60^\circ)}{1 - \sin(60^\circ)} \approx 13.93 \Rightarrow T_d \approx \frac{\sqrt{13.93}}{5} \approx 0.75 \Rightarrow K_P \approx \frac{1}{\sqrt{13.93} \cdot \frac{2}{0.25 \cdot 5^2}} \approx 0.84$$

$$F_{PD}(s) = 0.84 \frac{1 + 0.75s}{1 + 0.0054s}$$

Övningstal 6.23 (pad7)

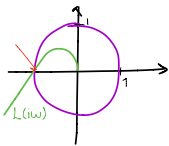
Bodediagrammet för en viss process, $G_p(s)$, är givet nedan:



- 1) Sätt $T_i = \infty, T_d = 0$, kolla bara K_P
- 2) Höj K_P tills stabilitet nås.
- 3) Låt $K_0 = K_P$, notera självsvängningens periodtid T_0
 $K_0 G(j\omega_{T_0}) = -1$ där $T_0 = \frac{2\pi}{\omega_{T_0}}$
- 4) Kolla tabell.
- 5) $T_f = \frac{T_d}{T_0}$

Processen skall PID-regleras. Bestäm, med användning av Ziegler/Nichols svängningsmetod, parametrarna K_r, T_i och T_d , hos regulatorn $G_r(s)$.

$$F_{PID}(s) = K_P \left(1 + \frac{1}{T_i s} + \frac{T_d}{1 + T_i s} \right)$$



Självsvängning inträffar då $|L(j\omega_{T_0})| = 1$, $\angle L(j\omega_{T_0}) = 180^\circ$

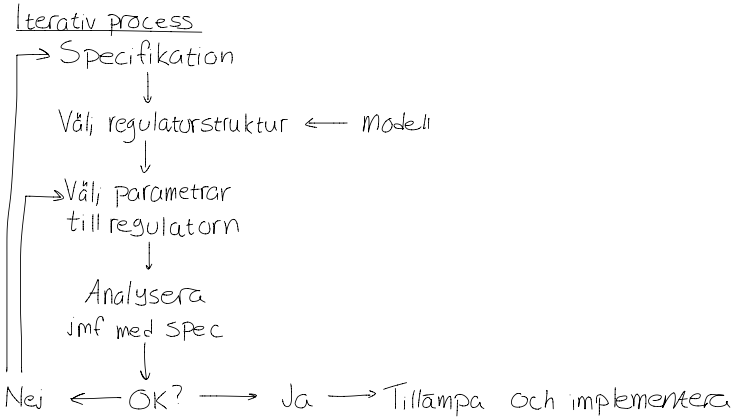
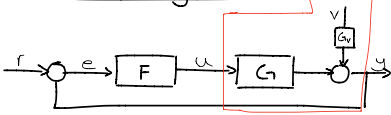
$$|F(j\omega_{T_0})| |G(j\omega_{T_0})| = 1 \Leftrightarrow K_0 |G(j\omega_{T_0})| = 1 \quad (\text{Använd nu Bode})$$

$$\text{Kolla vad beloppskurvan är där fasan är } -180^\circ \Rightarrow K_0 |G(j\omega_{T_0})| = 1 \Leftrightarrow K_0 = \frac{1}{0.21} \approx 4.76$$

$$T_0 = \frac{2\pi}{\omega_{T_0}} = \frac{2\pi}{2} = \pi$$

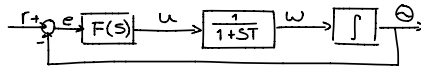
$$K_P = \{ \text{tabell} \} = 0.6 K_0 \approx 2.9 \quad \left. \begin{array}{l} T_i = 0.5 T_0 = 1.6 \\ T_d = 0.125 T_0 = 0.4 \end{array} \right\} F_{PID} = 2.9 \left(1 + \frac{1}{1.6s} + \frac{0.4}{1 + 1.6s} \right)$$

Design av regulator Modellering



Ex DC-motorservo (Inlm1)

$$G(s) = \frac{1}{s(1+sT)}$$



P-regulator: $G_{reg}(s) = \frac{\frac{K_p}{s(1+sT)}}{1 + \frac{K_p}{s(1+sT)}} = \frac{K_p}{s^2 + \frac{1}{T}s + \frac{K_p}{T}}$

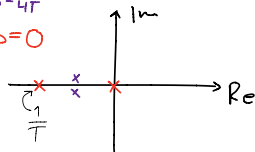
$$KE: s^2 + \frac{1}{T}s + \frac{K_p}{T} = 0$$

R-H: $s^2 \cdot 1 \quad \frac{K_p}{T}$ Stabil om $K_p > 0$
 $s^1 \cdot \frac{1}{T} \quad 0$
 $s^0 \cdot \frac{K_p}{T} \quad 0$

Slutna systemets poler: $s = \frac{1 \pm \sqrt{1 - 4K_p T}}{2}$

Här börjar kkr $\rightarrow K_p = \frac{1}{4T}$

$K_p = 0$



PD-regulator: $F(s) = K_p + K_d s \Rightarrow G_{reg}(s) = \frac{\frac{K_p + K_d s}{s(1+sT)}}{1 + \frac{K_p + K_d s}{s(1+sT)}} = \frac{K_p + K_d s}{s^2 + \frac{1+K_d}{T}s + \frac{K_p}{T}}$

$$KE: s^2 + \frac{1+K_d}{T}s + \frac{K_p}{T} = 0$$

Polplacering

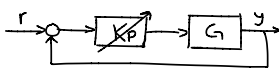
Bestäm var slutna systemets poler ska placeras.

Ponera att vi söker: $s_1 = -a, s_2 = -b \Rightarrow s^2 + (a+b)s + ab = 0$

Patternmatcha mot vår KE!

Patternmatching $\Rightarrow \frac{1+K_d}{T} = a+b \Rightarrow K_d = (a+b)T - 1$
 $\frac{K_p}{T} = ab \Rightarrow K_p = abT$

Ziegler-Nichols svängningsmetod



1. Sätt $F(s) = K_p$
2. Öka K_p tills systemet börjar självsvänga $\Rightarrow \omega_{IT}$
3. $T_0 = \frac{2\pi}{\omega_{IT}}$
4. Kolla i tabell!

Skär i -1.

\Rightarrow

Kommer ej på tentan!

Lambda-metoden

Används för att ställa in PI-regulatorer för att åstadkomma en given överföringsfunktion från r till y :

$$G_{ry} \approx \frac{e^{-s\tau_d}}{1 + \lambda s}$$

baserat på en approximativ processmodell.

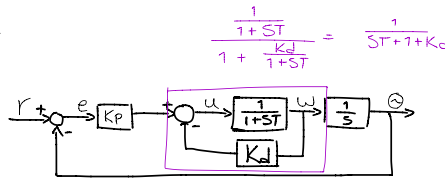
Processmodell	K	T_i
$G_p = \frac{Ke^{-s\tau_d}}{1 + s\tau}$	$\frac{\tau}{K(\lambda + \tau_d)}$	τ
$G_p = \frac{Ke^{-s\tau_d}}{s}$	$\frac{T_i}{K(\lambda + \tau_d)^2}$	$2\lambda + \tau_d$

λ väljs vanligen i intervallet $0.5\tau - 3\tau$.

Metoden är populär (och väldigt användbar!) i processindustrin genom att man bara behöver trimma regulatorn med en parameter som dessutom är lätt att relatera till.

Alternativa regulatorstrukturer

Inre återföring
Ex DC-motorservo



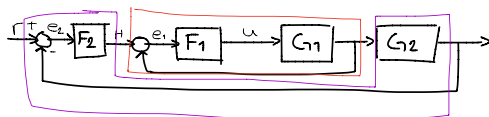
$$G_{\text{in}}(s) = \frac{K_p}{1 + \frac{sT + 1 + K_d}{K_p}} = \frac{K_p}{s^2T + (1 + K_d)s + K_p} = \frac{K_p}{s^2 + \frac{1 + K_d}{T}s + \frac{K_p}{T}}$$

dvs. samma effekt som fås av en PD-regulator men vi behöver inte derivera felsignalen.

K_p och K_d kan bestämma det slutna systemets dynamik.

Kaskadreglering

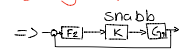
Generalisering av inre återföring.



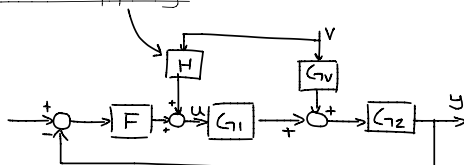
Notera: 2 mätningar men en styrsignal, u .

Tidsskalor: Inre loopen snabb

Yttre loopen långsam.



Framkoppling



$$Y = G_2(G_1 + H)u = 0 \Rightarrow H = -\frac{G_1}{G_2} \Rightarrow Y = 0 \cdot V$$

Problem:

1. Ej för stora modellfel.
2. F_{FF} stabil \Rightarrow nollställena till $G_1 \in \text{VHP}$.
3. F_{FF} kausal \Leftrightarrow dödtid hos $G_2 \geq$ dödtid hos G_1 .
4. F_{FF} proper \Leftrightarrow grad(nämnare) \geq grad(täljare).

(1) Gör en försiktig kompensering. (2-4) Sträva efter att minimera påverkan i det frekvensområde där de huvudsakliga störningarna är. Är störningarna lågfrekventa ger ofta $F_{FF} = -G_2(0)/G_1(0)$ ändå en markant förbättring.

PID-summering

P-regulator

- + Enkel
- Dålig statisk noggrannhet, d v s om r konstant så blir i regel $y \neq r$

PI-regulator

- + God statisk noggrannhet, d v s om r konstant blir i regel $y = r$
- + Långsamma processtörningar regleras bort väl
- Försämrade stabilitetsmarginaler (I-verkan medför ökad negativ fasvridning)

D-verkan

- + Förbättrad stabilitet
- + Snabbare reglering möjlig
- Ökad känslighet för mätstörningar

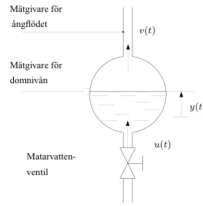
OBS1: en ren D-verkan $K_d \frac{d}{dt}$ kan i praktiken inte realiseras eftersom det kräver oändliga styrsignaler.

OBS2: Vid börvärdesändring kan D-verkan orsaka alltför häftiga styrsignalförändringar. För att undvika detta kan man låta D-delen endast verka på y :

$$u(t) = K_p(r(t) - y(t)) + K_i \int_0^t (r(\tau) - y(\tau)) d\tau - K_d \frac{d}{dt} y(t)$$

Övningstal 7.5 (pud5)

I en ångpanna av stål domtyp används en behållare (domen) för att skilja vatten och ånga. Det är väsentligt att hålla konstant vattennivå i domen vid belastningsändringar.



Domen kan beskrivas med modellen

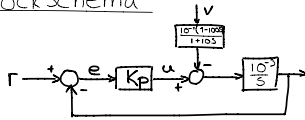
$$Y(s) = \frac{10^{-3}}{s} U(s) - \frac{10^{-4}(1-100s)}{s(1+10s)} V(s)$$

där y är domnivån i meter, u matarvattenflödet i kg/sek och f är ångflödet i kg/sek.

- I systemet införes en P-regulator för konstanthållning av nivån y via styrning av matarvattenflödet. Rita blockschema över det slutna systemet, inklusive störningens (ångflödets) inverkan!
- Dimensionera regulatorns förstärkningsfaktor K (kg/sek)/m så att ett begynnelsefel i nivån minskar till 25% av ursprungsvärdet efter 1 minut! Vad blir då kvarstående nivåfelet svarande mot en stegstörning i ångflödet på 2 kg/sek?
- Ange en framkoppling i reglersystemet, baserad på mätning av ångflödet, så att nivån blir oberoende av ändringar i ångflödet. Rita blockschema!
- Hur påverkas slutna systemets stabilitet av framkopplingen?

$$a) \quad Y(s) = \frac{10^{-3}}{s} U(s) - \frac{10^{-4}(1-100s)}{s(1+10s)} V(s) = \frac{10^{-3}}{s} \left[U(s) - \frac{10^{-1}(1-100s)}{1+10s} V(s) \right]$$

Blockschema



- Anta att referenshöjden är r_0 [m] $\Rightarrow R(s) = \frac{r_0}{s}$
Hitta ett uttryck för $e(t)$ och lös sedan K_p givet att $e(60) = 0.25e(0)$.

$$E(s) = G_{re}(s)R(s) = \left\{ G_{re}(s) = \frac{1}{1 + K_p \frac{10^{-3}}{s}} \right\} = \frac{1}{1 + \frac{K_p 10^{-3}}{s}} \cdot \frac{r_0}{s} = \frac{r_0}{s + K_p 10^{-3}}$$

$$e(t) = \mathcal{L}^{-1}\{E(s)\} = r_0 e^{-(K_p 10^{-3})t}$$

$$e(0) = r_0, \quad e(60) = r_0 e^{-(K_p 10^{-3})60} = 0.25 r_0 \Leftrightarrow e^{-(K_p 10^{-3})60} = 0.25$$

$$-K_p 10^{-3} 60 = \ln(0.25) \Leftrightarrow K_p = -\frac{\ln(0.25)}{10^{-3} \cdot 60} \approx 23.1$$

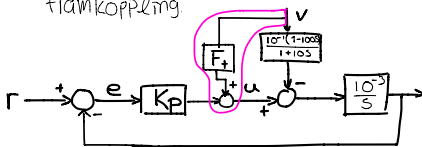
Kvarstående felet vid en stegstörning på $2 \frac{kg}{s}$.

$$v(t) = 2, \quad V(s) = \frac{2}{s}$$

$$E(s) = G_{ve}(s)V(s) = \left\{ \frac{10^{-4}(1-100s)}{s(1+10s)} - \frac{10^{-4}(1-100s)}{s(1+10s) + (K_p 10^{-3})} \right\} = \frac{10^{-4}(1-100s)}{(1+10s)(s + K_p 10^{-3})} \cdot \frac{2}{s}$$

$$\lim_{t \rightarrow \infty} e(t) = \lim_{s \rightarrow 0} sE(s) = \lim_{s \rightarrow 0} s \left(\frac{10^{-4}(1-100s)}{(1+10s)(s + K_p 10^{-3})} \cdot \frac{2}{s} \right) = \lim_{s \rightarrow 0} \frac{2 \cdot 10^{-4}(1-100s)}{(1+10s)(s + K_p 10^{-3})} = \frac{2 \cdot 10^{-4}}{K_p 10^{-3}} \{ K_p \approx 23.1 \} \approx 8.66 \cdot 10^{-3} \text{ m}$$

- Anv framkoppling
Framkoppling från störsignal. I de fall man kan mäta störningen kan man helt eliminera den genom framkoppling



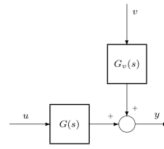
$$U(s) = K_p E(s) + F_+(s) V(s) \Rightarrow Y(s) = \frac{10^{-3}}{s} [U(s) - G_v(s) V(s)]$$

$$Y(s) = \frac{10^{-3}}{s} [K_p E(s) + F_+(s) V(s) - G_v(s) V(s)]$$

$$\text{för att eliminera störningen: } F_+(s)V(s) - G_v(s)V(s) = 0 \\ V(s)(F_+(s) - G_v(s)) = 0$$

- $1 + L(s) = 0 \Rightarrow$ Poler. Framkopplingsfiltret ingår inte i $L(s)$ så det påverkar inte stabiliteten.

Övningstal 7.6 (pad8)

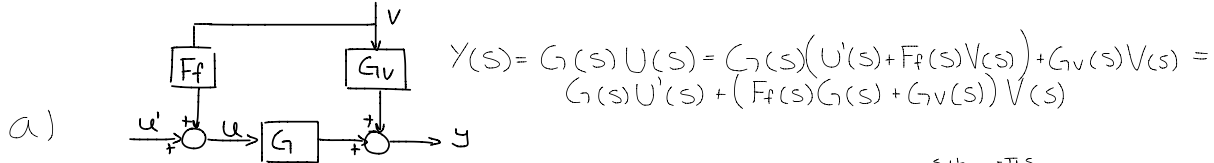


En framkopplingslänk skall dimensioneras för ovanstående process där störningen v antas vara mätbar. Processens överföringsfunktioner antas ha formen

$$G(s) = \frac{s+b}{s+a} e^{-T_d s}$$

$$G_v(s) = \frac{s+b_v}{s+a_v} e^{-T_{d_v} s}$$

- a) Bestäm framkopplingslänken $F_f(s)$.
 b) För vilka värden på parametrarna i processmodellerna går det att åstadkomma en praktiskt realiserbar länk $F_f(s)$ som ger ett stabilt regelsystem? Ange alternativa förslag på kompensering för övriga parameterkombinationer.



För att eliminera störningen: $G(s)F_f(s) + G_v(s) = 0 \Rightarrow F_f(s) = -\frac{G_v(s)}{G(s)} = -\frac{\frac{s+b_v}{s+a_v} e^{-T_{d_v} s}}{\frac{s+b}{s+a} e^{-T_d s}} = -\frac{(s+b_v)(s+a)}{(s+a_v)(s+b)} e^{-(T_{d_v}-T_d)s}$

- b) $b > 0, a_v > 0 \Rightarrow$ Stabil (realiserbar) $F_f(s) \Rightarrow$ Nollställena till $G(s)$ ska ligga i VHP
 Polerna $\dots - \dots - G_v(s) \dots - \dots -$
 Positiva dötider $\Rightarrow T_{d_v} > T_d$

Alternativa förslag

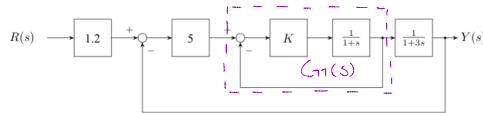
Om kraven ej är uppfyllda: Kolla på den statiska delen av framkopplingen ($F_f(0)$).
 Detta eftersom processstörningar oftast är lågfrekventa

$$F_f(0) = -\frac{a b_v}{b a_v}$$

Övningstal 7.14 (pb1)
 Betrakta följande regelsystem:



- a) Beräkna slutna systemets överföringsfunktion och uppskatta insvängningstiden t_s (5% från slutvärdet) vid stegformad referensändring.
 b) I figuren nedan har kaskadreglering införts kring det snabbare delsystemet. Hur förändras det återkopplade systemet och insvängningstiden om vi antar att förstärkningen K väljs stor? (Låt $K \rightarrow \infty$!)



a) $G_{ry}(s) = \frac{1.2 \cdot 5 \cdot \frac{1}{1+s} \cdot \frac{1}{1+3s}}{1 + 5 \cdot \frac{1}{1+s} \cdot \frac{1}{1+3s}} = \frac{6}{(1+s)(1+3s) + 5} = \frac{6}{3s^2 + 4s + 6} = \frac{2}{s^2 + \frac{4}{3}s + 2} \Rightarrow 2 \{ \omega_n = \frac{4}{3} \Leftrightarrow \omega_n = \frac{2}{3}$

t_s : tiden då $0.95 y_f \leq y(t) \leq 1.05 y_f, t > t_s$

Formelsamlingen: $t_s = \frac{3}{\omega_n} = \frac{3}{\frac{2}{3}} = \frac{9}{2} = 4.5 s$

b) $G_1(s) = \frac{\frac{K}{1+s}}{1 + \frac{K}{1+s}} = \frac{K}{1+s+K}, \quad G_{ry}(s) = \frac{1.2 \cdot 5 \cdot G_1(s) \cdot \frac{1}{1+3s}}{1 + 5 \cdot G_1(s) \cdot \frac{1}{1+3s}} = \frac{\frac{6}{1+3s} \cdot \frac{K}{1+s+K}}{1 + \frac{5}{1+3s} \cdot \frac{K}{1+s+K}} = \frac{6K}{(1+3s)(1+s+K) + 5K}$

$G_{ry} = \frac{6}{(1+3s)(\frac{1}{K} + 1) + 5} \xrightarrow{K \rightarrow \infty} \frac{6}{(1+3s) + 6} = \frac{2}{s+2}$

Formelsamling: $3T$ ($T =$ tidskonstanten, $\frac{1}{1+\frac{1}{2}s}$) $\Rightarrow t_s = 1.5 s$ ← snabbare!

Tillstånd återkoppling

Ex DC-servo med PD-regulator

$$\text{Process } G(s) = \frac{1}{s(1+sT)}$$

$$\text{Regulator: } F(s) = K_p(1+T_d s)$$

Designmetod beror på specifikation. Ex: Flytta punkt i Nyquistdiagram

1. Givet är ω_c, φ_m .

2. Bestäm T_d från: $\arg\{F\} + \arg\{G\} = \varphi_m - \pi$
 $\tan^{-1}(\omega_c T_d) - \frac{\pi}{2} - \tan^{-1}(\omega_c T) = \varphi_m - \pi \Rightarrow T_d$

3. Bestäm K_p från: $|F(j\omega_c)G(j\omega_c)| = K_p |1+j\omega_c T_d| |\frac{1}{j\omega_c(1+j\omega_c T)}| = 1 \Rightarrow K_p$

Designidéen: Två ekvationer / Två regulatorpar \Rightarrow Unik lösning.

PID-summering

P-regulator

- + Enkel
- Dålig statisk nogrannhet, d v s om r konstant så blir i regel $y \neq r$

PI-regulator

- + God statisk nogrannhet, d v s om r konstant blir i regel $y = r$
- + Långsamma processtörningar regleras bort väl
- Försämrade stabilitetsmarginaler (I-verkan medför ökad negativ fasvridning)

D-verkan

- + Förbättrad stabilitet
- + Snabbare reglering möjlig
- Ökad känslighet för mätstörningar

OBS1: en ren D-verkan $K_d \frac{dy}{dt}$ kan i praktiken inte realiseras eftersom det kräver oändliga styrsignaler.

OBS2: Vid börvärdesändring kan D-verkan orsaka alltför häftiga styrsignalförändringar. För att undvika detta kan man låta D-delen endast verka på y :

$$u(t) = K_p(r(t) - y(t)) + K_i \int_0^t (r(\tau) - y(\tau)) d\tau - K_d \frac{dy(t)}{dt}$$

Var ska man placera polerna?

Det beror på de givna specifikationerna:

$$\text{Givet: } G(s) = \frac{k \omega_n^2}{s^2 + 2\zeta \omega_n s + \omega_n^2}$$

$\zeta \approx 0.7$

Insvängningstid

Stigtid

Resonanstopp

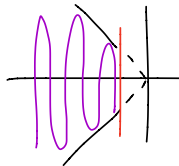
Slutna systemets bandbredd

$$(T_{15\%}) \approx \frac{6}{\omega_c(\tan(\varphi_m))}$$

$$(T_s) \approx \frac{1.4}{\omega_c}$$

$$(M_p) = \max|T(j\omega)| \approx \frac{1}{2 \sin(\varphi_m/2)}$$

$$(\omega_b) \approx 1.5 \omega_c$$



Alternativa regulatorstrukturer

Det finns många sätt att "bygga" ett regelsystem, förutom den enkla, återkopplade kretsen som vi studerat hittills. Här är några exempel:

► Inre återföring:

- En intern mätsignal är tillgänglig och kan användas för en "inre" återkoppling
- Ett typiskt exempel på detta är hastighetssignalen i en motordrift

► Kaskadreglering:

- Används ofta då man har tillgång till en extra mätning, som ligger "närmare" styrsignalen än den slutliga utsignalen
- Genom att sluta en inre reglerloop, som är snabbare än den yttre, kan man förbättra prestanda
- Ett exempel är reglering av dubbeltanken i labben!

► Framkoppling:

- Återkoppling bygger på att observerade (mätta) felaktigheter korrigeras
- Om en störning mäts, så finns möjlighet att kompensera denna "i förväg"
- Denna s.k. framkoppling används oftast tillsammans med återkoppling

Tillståndsmode

$$G(s) = \frac{1}{s(1+s)}$$

$$Y(s) = G(s)U(s)$$

$$s^2TY(s) + sY(s) = U(s) \Leftrightarrow T \dot{y}(t) + y(t) = u(t)$$

Alternativ beskrivning, tillståndsform!

$$x = \begin{cases} x_1 = y \\ x_2 = \dot{y} \end{cases} \Rightarrow \dot{x} = \begin{cases} \dot{x}_1 = y = x_2 \\ \dot{x}_2 = \dot{y} = \frac{1}{T}(\dot{y} + u) = \frac{1}{T}(-x_2 + u) \end{cases} \Rightarrow \dot{x} = \begin{bmatrix} \dot{x}_1 \\ \dot{x}_2 \end{bmatrix} = \begin{bmatrix} 0 & 1 \\ 0 & -\frac{1}{T} \end{bmatrix} \begin{bmatrix} x_1 \\ x_2 \end{bmatrix} + \begin{bmatrix} 0 \\ \frac{1}{T} \end{bmatrix} u$$

Återkoppla från tillstånden

$$u = -l_1 x_1 - l_2 x_2 + k_r r$$

$$\dot{x}_1 = x_2$$

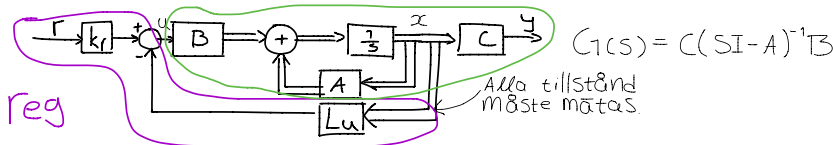
$$\dot{x}_2 = -\frac{1}{T}x_2 + \frac{1}{T}u = -\frac{1}{T}x_2 + \frac{1}{T}(-l_1 x_1 - l_2 x_2 + k_r r) = -\frac{l_1}{T}x_1 - \left(\frac{l_2}{T} + \frac{1}{T}\right)x_2 + \frac{k_r}{T}r$$

$$\begin{bmatrix} \dot{x}_1 \\ \dot{x}_2 \end{bmatrix} = \begin{bmatrix} 0 & 1 \\ -\frac{l_1}{T} & -(\frac{l_2}{T} + \frac{1}{T}) \end{bmatrix} \begin{bmatrix} x_1 \\ x_2 \end{bmatrix} + \begin{bmatrix} 0 \\ \frac{k_r}{T} \end{bmatrix} r$$

Systemets poler ges fortfarande av $\det(sI - A) = 0$.

Generalisering

Procesmodell



$$G(s) = C(sI - A)^{-1}B$$

Notera

Tjocka pilar: Vektorer.

$$\text{Givet } \begin{cases} \dot{x} = Ax + Bu \\ y = Cx \end{cases}$$

Anta att alla tillstånd är mätbara. Ansätt: $u = -L_u x + k_r r = -[l_1 \ l_2 \ \dots \ l_n] \begin{bmatrix} x_1 \\ x_2 \\ \vdots \\ x_n \end{bmatrix} + [k_r] r$

$$\Rightarrow \dot{x} = Ax + Bu = Ax + B(-L_u x + k_r r) = (A - B L_u)x + B k_r r$$

$$y = Cx$$

$$G_{ry}(s) = C(sI - (A - B L_u))^{-1} B k_r$$

Designmetod

- Bestäm vad det slutna systemets poler ska vara.
- Beräkna L_u gm $\det(sI - (A - B L_u)) = 0$

Ex DC-motorservo, sätt $T=1$

$$G_{ry}(s) = C(sI - (A - B L_u))^{-1} B k_r = [1 \ 0] \begin{bmatrix} s & 0 \\ 0 & s \end{bmatrix}^{-1} \begin{pmatrix} 0 & 1 \\ -l_1 - l_2 & -1 \end{pmatrix} \begin{pmatrix} 0 \\ k_r \end{pmatrix}$$

$$\begin{bmatrix} \dot{x}_1 \\ \dot{x}_2 \end{bmatrix} = \begin{bmatrix} 0 & 1 \\ -\frac{l_1}{T} & -(\frac{l_2}{T} + \frac{1}{T}) \end{bmatrix} \begin{bmatrix} x_1 \\ x_2 \end{bmatrix} + \begin{bmatrix} 0 \\ \frac{k_r}{T} \end{bmatrix} r \Rightarrow \begin{bmatrix} 1 & 0 \\ 0 & s \end{bmatrix} \begin{bmatrix} s & -1 \\ -l_1 & s + l_2 + 1 \end{bmatrix}^{-1} \begin{bmatrix} 0 \\ k_r \end{bmatrix}$$

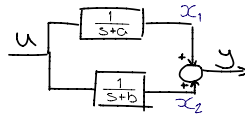
$$y = [1 \ 0] x = [1 \ 0] \frac{1}{s(s+l_2)+l_1} \begin{bmatrix} s+l_2 & 1 \\ -l_1 & s \end{bmatrix}^{-1} \begin{bmatrix} 0 \\ k_r \end{bmatrix} = \frac{k_r}{s^2 + s(1+l_2) + l_1}$$

Välj parametrar: $k_r = l_1 \Rightarrow C_{\text{try}}(0) = 1$
 $l_1 = \omega_n^2$ så vi väljer l_1 utifrån spec.
 $\xi = \frac{1+l_2}{2\omega_n}$

Kan vi alltid bestämma egenvärdena till $A-Bk_u$?

Detta är relaterat till systemets styrbarhet

Ex



$$\dot{x}_1 = -ax_1 + u$$

$$\dot{x}_2 = -bx_2 + u \Rightarrow$$

$$y = x_1 + x_2$$

$$\dot{x} = \begin{bmatrix} -a & 0 \\ 0 & -b \end{bmatrix} \begin{bmatrix} x_1 \\ x_2 \end{bmatrix} + \begin{bmatrix} 1 \\ 1 \end{bmatrix} u$$

$$y = \begin{bmatrix} 1 & 1 \end{bmatrix} x$$

$$u = -l_1 x_1 - l_2 x_2 + k_r r$$

\Rightarrow

$$\dot{x} = \begin{bmatrix} -al_1 & -l_2 \\ -l_1 & -b \cdot l_2 \end{bmatrix} x + \begin{bmatrix} k_r \\ k_r \end{bmatrix} r, \quad KE: \det(sI - (A - Bk_u)) = 0$$

$$\det \begin{pmatrix} s+a+l_1 & l_2 \\ l_1 & s+b+l_2 \end{pmatrix} = (s+a+l_1)(s+b+l_2) - l_1 l_2 = s^2 + s(a+b+l_1+l_2) + ab + al_2 + bl_1 = 0$$

$$a=b \Rightarrow s^2 + s(2a+l_1+l_2) + a^2 + a(l_1+l_2) = (s+a)(s+a+l_1+l_2)$$

$\begin{matrix} \text{gör ej} \\ \text{att påverka} \end{matrix}$
 \swarrow Gör att påverka

Egenvärdet $(-a)$ påverkas inte av återkopplingen \Rightarrow lcke styrbart!

Styrbarhet

Anta att vi vill använda tillståndsåterkoppling:

- Är det alltid möjligt att bestämma L_u , oberoende av valet av poler för det slutna systemet, dvs egenvärden till $A - BL_u$?

Svar: Ja, under förutsättning att den så kallade *styrbarhetsmatrisen*

$$C(A, B) = [B \quad AB \quad A^2B \quad \dots \quad A^{n-1}B]$$

där n är antalet tillstånd, har full rang (d.v.s. n linjärt oberoende rader). Systemet kallas i detta fall *styrbart*.

Om det sker förkortningar då man beräknar $G(s)$ (dvs man får en överföringsfunktion av lägre ordning än n), så är detta en indikation på att systemet inte är styrbart.

Övningstal 2.13 (pss10)

En dynamiskt system beskrivs av modellen

$$\begin{aligned} \dot{p}(t) + p(t) &= q^3(t)u(t) \\ \varepsilon \dot{q}(t) + q(t) &= e^{9t}u^2(t) \\ y(t) &= p(t)q(t) \end{aligned}$$

där u är instorheten, medan y är utstorheten. Antag att ε är litet, vilket kan approximeras med $\varepsilon = 0$.

- Formulera en tillståndsmodell för godtyckligt ε och för $\varepsilon = 0$. På vilket sätt förändras den andra differentialekvationen och dimensionen på problemet (antalet tillståndsvariabler)? Tolka resultatet i termer av dynamisk respektive statisk relation.
- Bestäm den arbetspunkt (p_0, q_0, u_0) där stationärtillståndet $p_0 = 0.5$, d.v.s. bestäm q_0 och u_0 . (Det kan påpekas i sammanhanget att ekvationen $z^7 = e^z/4$ har lösningen $z = 0.9380$).
- Ställ upp en linjär tillståndsmodell för systemet, som gäller nära arbetspunkten (p_0, q_0, u_0) , då $\varepsilon > 0$. Bestäm systemets egenvärden och studera vad som händer då $\varepsilon \rightarrow 0$.
- Bestäm överföringsfunktionen $G(s)$ från instorheten Δu till utstorheten Δy då $\varepsilon > 0$. Vad blir systemets tidskonstanter? Sammanfatta slutsatserna angående systemdimension, poler, tidskonstanter och dynamiskt kontra statiskt samband då $\varepsilon \rightarrow 0$.

a) Godtyckligt ε

$$\begin{cases} \dot{x}_1 = p \\ \dot{x}_2 = q \\ y = x_1 x_2 \end{cases} \Rightarrow \begin{cases} \dot{x}_1 = p = -p + q^3 u = -x_1 + x_2^3 u \\ \dot{x}_2 = q = -\frac{1}{\varepsilon} q + \frac{1}{\varepsilon} e^{9t} u^2 = -\frac{1}{\varepsilon} x_2 + \frac{1}{\varepsilon} e^{9t} x_2^2 u^2 \end{cases}$$

$\varepsilon \rightarrow 0 \Rightarrow x_1$ oförändrad

$x_2 \rightarrow \infty$, oändligt stor derivata \Rightarrow jättesnabb dynamik, som ändras så fort att vi inte behöver reglera den (den långsamma dynamiken dominerar)
 $\Rightarrow x_2 = e^{9t} u^2$, statisk relation! I vår tillståndsmodell vill vi bara ha derivator. Ta bort!

$$\begin{cases} \dot{x} = \dot{x}_1 = -x_1 + x_2^3 u \\ y = x_1 x_2 \end{cases}, \text{ dimensionen minskade med ett!}$$

b) Stationär pkt \Rightarrow Alla derivator = 0.

$$\begin{aligned} -x_{10} + x_{20}^3 u_0 = 0 &\Leftrightarrow -p_0 + q_0^3 u_0 = 0 \Leftrightarrow q_0^3 u_0 = 0.5 \Leftrightarrow u_0 = \frac{0.5}{q_0^3} \\ -\frac{1}{\varepsilon} x_{20} + \frac{1}{\varepsilon} e^{9t_0} u_0^2 = 0 &\Leftrightarrow -\frac{q_0}{\varepsilon} + \frac{e^{9t_0}}{\varepsilon} u_0^2 = 0 \Leftrightarrow q_0 = e^{9t_0} u_0^2 \Rightarrow q_0 = e^{9t_0} \frac{0.25}{q_0^3} \Rightarrow q_0^4 = e^{9t_0} 0.25 \end{aligned}$$

Givet är att: $z^7 = \frac{e^z}{4}$ har lösning $z = 0.938 \Rightarrow q_0 = 0.938 \Rightarrow u_0 = \frac{0.5}{0.938^3} \approx 0.6058$

Arbpkt: (0.5, 0.938, 0.6058)

c) $\begin{cases} \Delta x = A \Delta x + B \Delta u \\ \Delta y = C \Delta x \end{cases}$

$$A = \begin{bmatrix} -1 & 3q_0^2 u_0 \\ 0 & -\frac{1}{\varepsilon} + \frac{1}{\varepsilon} e^{9t_0} u_0^2 \end{bmatrix}_{(x_{10}, x_{20}, u_0)} = \begin{bmatrix} -1 & 3q_0^2 u_0 \\ 0 & -\frac{1}{\varepsilon} + \frac{1}{\varepsilon} e^{9t_0} u_0^2 \end{bmatrix} \quad B = \begin{bmatrix} x_2^3 \\ \frac{1}{\varepsilon} e^{9t} u \end{bmatrix}_{(x_{10}, x_{20}, u_0)} = \begin{bmatrix} q_0^3 \\ \frac{1}{\varepsilon} e^{9t_0} u_0 \end{bmatrix}$$

$$C = [x_2 \quad x_1] = [q_0 \quad p_0]$$

$$\det(\lambda I - A) = 0$$

$$\det \begin{pmatrix} \lambda + 1 & -3q_0^2 u_0 \\ 0 & \lambda + \frac{1}{\varepsilon} - \frac{1}{\varepsilon} e^{9t_0} u_0^2 \end{pmatrix} = (\lambda + 1) \left(\lambda + \frac{1}{\varepsilon} - \frac{1}{\varepsilon} e^{9t_0} u_0^2 \right) = 0$$

$\lambda_1 = 1$
 $\lambda_2 = -\frac{1}{\varepsilon} + \frac{1}{\varepsilon} e^{9t_0} u_0^2 = \frac{1}{\varepsilon} \left(-1 + \underbrace{e^{9t_0} u_0^2}_{= q_0} \right) = -\frac{0.062}{\varepsilon} \xrightarrow{\varepsilon \rightarrow 0} -\infty$

d) Bestäm $G(s) = \frac{\Delta Y(s)}{\Delta U(s)}$, $\epsilon > 0$

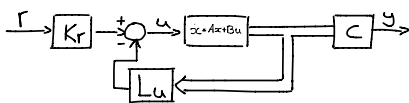
$$G(s) = C(SI - A)^{-1}B = \dots = \frac{9\epsilon^4 (S(\epsilon+2) + 8062)}{(S+1)(\epsilon S + 0062)}$$

Tidskonstanerna?

$$G(s) = K \frac{T_1 s + 1}{(T_2 s + 1)(T_3 s + 1)} \Rightarrow \begin{aligned} T_1 &= \frac{\epsilon + 2}{8062} \xrightarrow{\epsilon \rightarrow 0} \frac{2}{8062} \\ T_2 &= 1 \\ T_3 &= \frac{\epsilon}{0062} \xrightarrow{\epsilon \rightarrow 0} 0 \end{aligned}$$

Om en pol/ett egenvärde eller en tidskonstant = 0 finns ett statiskt samband i systemet. Då kan dimensionen reduceras.

Tillståndsåterkoppling



Styrslag $u = -L_u x + K_r r$
 L_u : Tillståndsåterkopplingskonstant
 K_r : Förstärkningskonstant

$$\begin{aligned} \dot{x} &= Ax + Bu = Ax + B(-L_u x + K_r r) \\ y &= Cx = (A - B L_u)x + B K_r r \end{aligned}$$

Övningstal 8.2 (psr2)

En satellits rotation ska styras med hjälp av ett drivande moment u . Momentjämvikt ger differentialekvationen

$$J \frac{d}{dt} \omega(t) = u(t)$$

där J är satellitens tröghetsmoment och ω är satellitens vinkelhastighet som tillsammans med vinkeln θ är tillgängliga för återkoppling. Antag i fortsättningen att $J = 1$.

a) Bestäm en tillståndsåterkoppling

$$u = -l_\theta \theta - l_\omega \omega + K_r \theta_r$$

så att de båda polerna för det återkopplade systemet placeras som en dubbelpol i $s = -\alpha$.

$$J \frac{d\omega(t)}{dt} = u(t) \Leftrightarrow \ddot{\theta}(t) = u(t) \quad (J=1)$$

$$\begin{aligned} \begin{cases} x_1 = \theta \\ x_2 = \dot{\theta} \end{cases} \Rightarrow \begin{cases} \dot{x}_1 = \dot{\theta} = x_2 \\ \dot{x}_2 = \ddot{\theta} = u \end{cases} \Rightarrow \dot{x} &= \begin{bmatrix} 0 & 1 \\ 0 & 0 \end{bmatrix} x + \begin{bmatrix} 0 \\ 1 \end{bmatrix} u \\ y &= \begin{bmatrix} 1 & 0 \end{bmatrix} x \end{aligned}$$

$$u = -l_\theta \theta - l_\omega \omega + K_r \theta_r = \underbrace{\begin{bmatrix} -l_\theta & -l_\omega \end{bmatrix}}_{L_u} x + K_r \theta_r$$

$$\begin{aligned} x &= \underbrace{\begin{bmatrix} 0 & 1 \\ 0 & 0 \end{bmatrix}}_{A - B L_u} x + \underbrace{\begin{bmatrix} 0 \\ 1 \end{bmatrix}}_{B K_r} \left(\begin{bmatrix} -l_\theta & -l_\omega \end{bmatrix} x + K_r \theta_r \right) = \begin{bmatrix} 0 & 1 \\ 0 & 0 \end{bmatrix} x + \begin{bmatrix} 0 & 0 \\ -l_\theta & -l_\omega \end{bmatrix} x + \begin{bmatrix} 0 \\ K_r \end{bmatrix} \theta_r = \\ & \begin{bmatrix} 0 & 1 \\ -l_\theta & -l_\omega \end{bmatrix} x + \begin{bmatrix} 0 \\ K_r \end{bmatrix} \theta_r \end{aligned}$$

Önskad polplacering: $\alpha_c(s) = (s + \alpha)(s + \alpha) = \underline{s^2 + 2\alpha s + \alpha^2 = 0}$

$$\det(SI - (A - B L_u)) = 0$$

$$\det \begin{pmatrix} s & -1 \\ l_\theta & s + l_\omega \end{pmatrix} = s(s + l_\omega) + l_\theta = \underline{s^2 + l_\omega s + l_\theta = 0} \Rightarrow \begin{aligned} l_\theta &= \alpha^2 \\ l_\omega &= 2\alpha \Rightarrow L_u = \begin{bmatrix} \alpha^2 & 2\alpha \end{bmatrix} \end{aligned}$$

$$\begin{aligned} K_r? \quad G_{ry}(0) = 1 \quad G_{ry}(s) &= C(SI - (A - B L_u))^{-1} B K_r = \frac{1}{\det(SI - (A - B L_u))} \begin{bmatrix} s + l_\omega & 1 \\ -l_\theta & s \end{bmatrix} \begin{bmatrix} 0 \\ K_r \end{bmatrix} = \\ \frac{1}{s^2 + l_\omega s + l_\theta} \begin{bmatrix} 1 & 0 \end{bmatrix} \begin{bmatrix} K_r \\ s K_r \end{bmatrix} &= \frac{K_r}{s^2 + l_\omega s + l_\theta} = \left\{ s=0 \right\} = \frac{K_r}{l_\theta} = 1 \Rightarrow K_r = l_\theta = \alpha^2 \Rightarrow u(t) = \begin{bmatrix} -\alpha^2 & -2\alpha \end{bmatrix} x + \alpha^2 \theta_r \end{aligned}$$

Övningstal 8.7 (E20)

Ett linjärt system definieras av differentialekvationen $\dot{y}(t) = u(t)$, där u är insignal och y är utsignal. Systemet skall regleras genom tillståndsåterkoppling med integrerande verkan, innebärande att den utvidgade systembeskrivningen blir av ordning två. Processens tillstånd betecknas x_1 och regulatorns tillstånd x_2 .

(a) Utför design av en sådan tillståndsåterkoppling där det återkopplade systemets poler placeras i $-1 \pm i\nu$. Vilket värde på ν motsvaras av ett kritiskt dämpat återkopplat system?

(b) Upprita ett tydligt schema över det återkopplade systemet, och bestäm istället parametern ν så att systemets fasmarginall blir 45 grader.

a)

$$x_1 = y$$

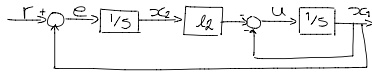
$$x_2 = \int e dt = \int r - y dt = \int r - x_1 dt \quad \dot{x}_1 = \dot{y} = u$$

$$\dot{x}_2 = r - x_1$$

$$\dot{x} = \begin{bmatrix} 0 & 0 \\ -1 & 0 \end{bmatrix} x + \begin{bmatrix} 1 \\ 0 \end{bmatrix} u + \begin{bmatrix} 0 \\ 1 \end{bmatrix} r$$

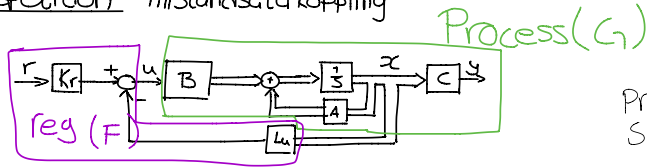
$$u = -k_u x$$

$$u = -k_1 x_1 - k_2 x_2$$



OSV

Repetition - Tillstånd återkoppling



Processens poler: $\det(sI - A) = 0$
 Slutna sys poler: $\det(sI - (A - Bk_u)) = 0$

$$\begin{aligned} \dot{x} &= Ax + Bu \\ y &= Cx + Du \Rightarrow u = -k_u \cdot x + k_r \cdot r \Rightarrow \begin{cases} \dot{x} = (A - Bk_u)x + Bk_r \cdot r \\ y = Cx \end{cases} \end{aligned}$$

Vi kan placera poler hur vi vill givet att systemet är styrbart. Man kallar detta mha styrbarhetsmatrisen: $C = [B \ AB \ A^2B \ \dots \ A^{n-1}B]$. Om C har full rang ($\det C \neq 0$) så är systemet styrbart.

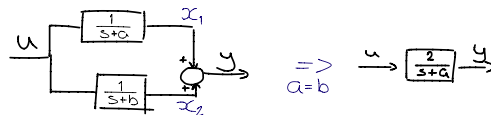
Ex Förra föreläsningen.

$$\begin{aligned} x &= \begin{bmatrix} -a & 0 \\ 0 & -b \end{bmatrix} \begin{bmatrix} x_1 \\ x_2 \end{bmatrix} + \begin{bmatrix} 1 \\ 1 \end{bmatrix} u \\ y &= [1 \ 1] x \\ u &= -k_1 x_1 - k_2 x_2 + k_r r \end{aligned}$$

$$B = \begin{bmatrix} 1 \\ 1 \end{bmatrix} \quad AB = \begin{bmatrix} -a & 0 \\ 0 & -b \end{bmatrix} = \begin{bmatrix} -a \\ -b \end{bmatrix}$$

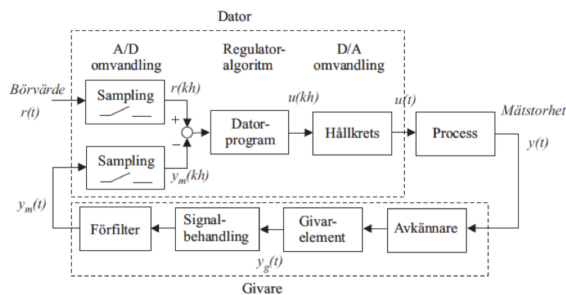
$$C = \begin{bmatrix} 1 & -a \\ 1 & -b \end{bmatrix}, \quad \det(C) = -b + a \neq 0 \text{ om } a \neq b$$

Systemet är styrbart om $a \neq b$. Detta såg vi också i förra föreläsningen.



Implementering av reglersystem

Ett reglersystem implementeras oftast med dator/mikrocontroller:



Filter

Det är viktigt att filtrera signaler för att få bort högfrekvent mätbrus. Vi använder således ett lågpasfilter.

Från LP-filtret kan andra typer av filter fås genom enkla transformationer:

Butterworthfilter

$$H(s) = \frac{1}{1+s^n} \quad (\text{Brytfrekvens} = \frac{1}{T})$$

$$LP \rightarrow LP : s \rightarrow s/\omega_c$$

$$LP \rightarrow HP : s \rightarrow \omega_c/s$$

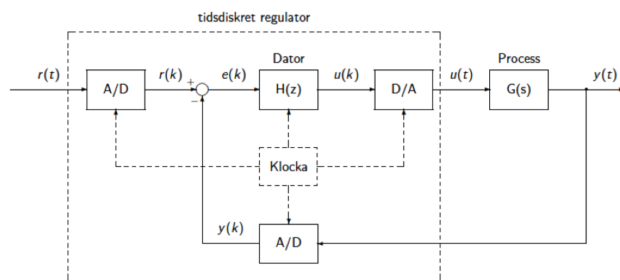
$$LP \rightarrow BP : s \rightarrow \frac{s^2 + \omega_L \omega_H}{s(\omega_H - \omega_L)} = \frac{s^2 + \omega_M^2}{Bs}$$

$$LP \rightarrow BS : s \rightarrow \frac{s(\omega_H - \omega_L)}{s^2 + \omega_L \omega_H} = \frac{Bs}{s^2 + \omega_M^2}$$

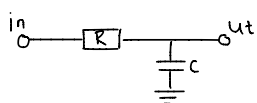
Konsekvens: Samplad reglering

Konsekvens 2:

- ▶ Processen är (oftast) tidskontinuerlig
- ▶ Regulatorn är tidsdiskret



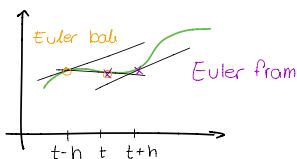
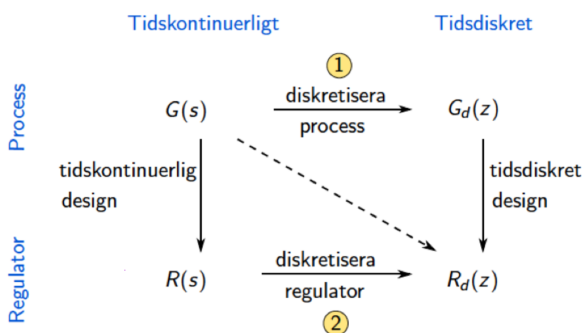
Hur bygger vi våra filter?



Spänningsdelning:
$$\frac{U_{ut}}{U_{in}} = \frac{\frac{1}{sC}}{R + \frac{1}{sC}} = \frac{1}{1 + sRC}$$

Diskretisering

Diskretisering kan göras på olika sätt:



$$\hat{y}(t) = \frac{y(t) - y(t-h)}{h}$$

$$\hat{y}(t) = \frac{y(t+h) - y(t)}{h}$$

Enklaste idén att gå från en kontinuerlig modell till en diskret: ersätt derivatan med en *differensapproximation* med *sampleingsintervallet* h :

1. $\dot{y}(t) \approx \frac{1}{h}(y(t) - y(t-h)) = \frac{1}{h}(y(kh) - y((k-1)h))$ "Euler bakåt"
2. $\dot{y}(t) \approx \frac{1}{h}(y(t+h) - y(t)) = \frac{1}{h}(y((k+1)h) - y(kh))$ "Euler framåt"

En metod, som har vissa fördelar (vi återkommer till dessa), bygger på trappetsregeln för numerisk integration:

3. $\hat{y}(t) \approx \frac{2}{h}(y(t) - y(t-h)) - \hat{y}(t-h)$ *Tustins/bilinjär approximation*

där $\hat{y}(t)$ är approximationen av $\dot{y}(t)$.

Diskretisering: exempel

Tidskontinuerlig modell:

$$\dot{y}(t) + ay(t) = bu(t) \quad (5)$$

Euler bakåt ger

$$\frac{1}{h}(y(t) - y(t-h)) + ay(t) = bu(t)$$

Vi intresserar oss nu bara för samplingstidpunkterna $t = kh, k = 1, 2, \dots$. Detta ger en tidsdiskret modell i form av en *differensekvation*:

$$\frac{1}{h}(y(kh) - y((k-1)h)) + ay(kh) = bu(kh) \Leftrightarrow$$

$$(1 + ah)y(k) - y(k-1) = bhu(k) \quad (6)$$

där för enkelhets skull sampleingsintervallet valts som tidsenhet, dvs $h = 1$.

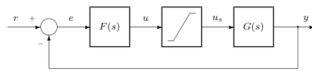
Notera att modellen (6) är en *algoritm* för att beräkna systemets utsignal!

Övningstal 9.13 (pir/Windup)

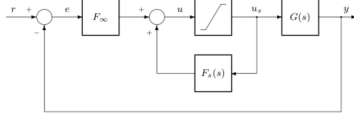
I praktiska regelsystem begränsas normalt den styrsignal som genereras till processen via en begränsningsfunktion. Den begränsade styrsignalen $u_s(t)$ (s -saturation) kan då uttryckas som

$$u_s = \begin{cases} u_{max} & u > u_{max} \\ u & u_{min} \leq u \leq u_{max} \\ u_{min} & u < u_{min} \end{cases}$$

Begränsningsfunktionen illustreras också i följande blockschema.



Då styrsignalen hamnar i begränsningsläget upphör återkopplingen temporärt att fungera, eftersom styrsignalen $u_s(t)$ då är konstant (lika med u_{min} eller u_{max}). Detta leder till problem då regulatören i sig är instabil, vilket gäller exempelvis i det vanligt förekommande fallet att regulatören $F(s)$ är en PI-regulator. Ett sätt att råda bot på detta problem visas i följande blockschema, där den begränsade styrsignalen u_s återkopplas via positiv återkoppling.



a) $F(s) = \frac{3(s+0.5)}{s}$
 $F_{\infty} = F(\infty) = 3$

Utgå från blockschemat och sätt $U_s = U$. $U(s) = E(s)F_{\infty} + F_s(s)U(s) \Rightarrow U(s) = \frac{F_{\infty}}{1-F_s(s)} \cdot E(s)$
 $F(s) = \frac{F_{\infty}}{1-F_s(s)} \Leftrightarrow F(s)(1-F_s(s)) = F_{\infty} \Leftrightarrow F_s(s) = 1 - \frac{F_{\infty}}{F(s)} = 1 - \frac{3}{\frac{3(s+0.5)}{s}} = \frac{0.5}{s+0.5}$

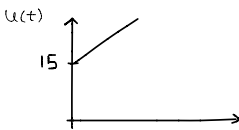
Fall 1: Utan intern återkoppling

$e(t) = 5\theta(t) \Rightarrow E(s) = \frac{5}{s}$
 $U(s) = F(s)E(s) = \frac{3(s+0.5)}{s} \cdot \frac{5}{s} = \frac{15}{s} + \frac{7.5}{s^2}$
 $u(t) = (15 + 7.5t)\theta(t)$

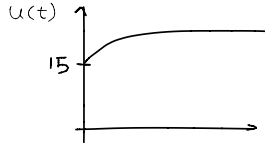
Fall 2: Med intern återkoppling

$U_s(t) = 10\theta(t), e(t) = 5\theta(t)$
 $U(s) = E(s)F_{\infty} + U_s F_s(s) = \frac{5}{s} \cdot 3 + \frac{10}{s} \cdot \frac{0.5}{s+0.5} = \frac{25}{s} - \frac{10}{s+0.5}$
 $u(t) = (15 + 10 - 10e^{-0.5t})\theta(t)$

Fall 1



Fall 2



Övningstal 9.1 (pir)

Nedanstående fysikaliska system är givna med tidskontinuerliga överföringsfunktioner. Antag att systemen samplas och att insignalen är konstant över varje samplingsintervall h . Beräkna motsvarande tidsdiskretiserade överföringsfunktioner. Bestäm även de tidsdiskreta polerna i deluppgift a)-e). Jämför och kommentera!

a) $G(s) = \frac{3}{1+s} \quad h = 1 \text{ s}$

1. Ta fram tillståndsmodell för kontinuerliga systemet

$Y(s) = G(s)U(s) = \frac{3}{1+s} U(s) \Leftrightarrow (1+s)Y(s) = 3U(s) \xrightarrow{\mathcal{L}^{-1}} \dot{y}(t) + y(t) = 3u(t)$

$\begin{cases} \dot{x}(t) = -x(t) + 3u(t) \\ y(t) = x(t) \end{cases}$

Tidskont: $\dot{x}(t) = Ax(t) + Bu(t)$
 $y(t) = Cx(t) + Du(t)$

Tidsdiskret: $x(kh+h) = A_d x(kh) + B_d u(kh)$
 $y(kh) = C(kh) + D u(kh)$

$A_d = e^{Ah}, \quad B_d = \int_0^h e^{A(s)} ds B$

Vi har: $A = -1, B = 3, C = 1, D = 0$

$A_d = e^{-h} \Rightarrow \begin{cases} x(kh+h) = e^{-h} x(kh) + 3(1-e^{-h})u(kh) \\ y(kh) = x(kh) \end{cases}$

Ztransform: $X(z)(z - e^{-h}) = 3(1 - e^{-h})U(z) \Rightarrow G_d(z) = \frac{Y(z)}{U(z)} = \frac{3(1 - e^{-h})}{z - e^{-h}} = \{h=1\} \cdot \frac{1.896}{z - 0.368}$
 $Y(z) = X(z)$

Polerna ges av $z = 0.368$
 $(z = e^{sh})$

Övningstal 9.4 (pir3)
 Processen

$$G(s) = \frac{1-s}{1+s}$$

Samplas med samplingsintervallet $h = \ln 2$. (Detta val visar sig ge enkla siffror!). Ställ upp en differenskvation som relaterar det tidsdiskreta systemets in- och utsignaler, $u(k)$ och $y(k)$ respektive, till varandra. Beräkna även $y(0)$, $y(1)$, $y(2)$, $y(3)$ och $y(4)$ i det tidsdiskreta systemets stegsvar, där $u(k) = 1$ för $k \geq 0$. Antag att $u(k)$, $y(k) = 0$ för $k < 0$.

Gradtal täljare = Gradtal nämnare
 \Leftrightarrow

Direktterm \rightarrow Direktterm

$$G(s) = \frac{1-s}{1+s} = \frac{2}{1+s} - 1 \quad X(s) = \frac{2}{1+s} U(s) \quad Y(s) = G(s)U(s) = \frac{2}{1+s} U(s) - U(s)$$

Tillståndsmodell: $x(t) = -x + 2u \quad A = -1, B = 2, C = 1, D = -1$
 $y(t) = x - u$

$$A_d = e^{-\ln(2)} = \frac{1}{2}, \quad B_d = 1$$

Differenskvation: $x(kh+h) = 0.5x(kh) + u(kh)$
 $y(kh) = x(kh) - u(kh)$

Beräkna: $y(0), y(1), \dots, y(4)$ för $u(k) = \begin{cases} 1 & k \geq 0 \\ 0 & k < 0 \end{cases}$ givet att $y(k) = 0$ om $k < 0$.

$$y(kh+h) = x(kh+h) - u(kh+h) = 0.5x(kh) + u(kh) - u(kh+h)$$

$$y(kh+h) + u(kh+h) = 0.5x(kh) + u(kh)$$

$$y(kh+h) + u(kh+h) = 0.5y(kh) + 0.5u(kh) + u(kh)$$

$$y(kh+h) - 0.5y(kh) = -u(kh+h) + 1.5u(kh)$$

$$y(0) = 0.5y(-h) - u(0) + 1.5u(-h) = 0 - 1 + 0 = -1$$

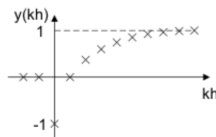
$$y(h) = 0.5y(0) - u(h) + 1.5u(0) = 0$$

• Lösning till 9.4

$$y(kh) - 0.5y(kh-h) = -u(kh) + 1.5u(kh-h)$$

$$y(0) = -1$$

$$y(kh) = 1 - \frac{1}{2^{k+1}}, \quad k > 0$$



Övningstal 9.6 (pirLFHF)

En process som beskrivs av den tidskontinuerliga överföringsfunktionen

$$\frac{Y(s)}{U(s)} = G(s) = \frac{5}{(s+1)(s+2)}$$

ska regleras med en dator. För att åstadkomma detta diskretiseras denna processmodell. Antag att datorn lägger ut en styckvis konstant styrsignal $u(t)$.

- a) Bestäm motsvarande tidsdiskreta överföringsfunktion $G_d(z)$, och ange speciellt resultatet för samplingsintervallet $h = \ln 2$. Kommentera även de tidsdiskreta polernas placering som funktion av samplingsintervallet h speciellt för korta och långa intervall.

$$G(s) = \frac{5}{(s+1)(s+2)} = 2.5 \left(\frac{2}{s+1} - \frac{2}{s+2} \right)$$

$$\text{Om } F(s) = \frac{1}{s+a} \Rightarrow x = -ax + u, \quad A_d = e^{-ah}, \quad B_d = \int_0^h e^{as} ds = \frac{1}{a}(1 - e^{-ah})$$

$$\underbrace{x(kh+h)}_z x(kh) = e^{-ah} x(kh) + \frac{1}{a}(1 - e^{-ah})u(kh)$$

$$(z - e^{-ah})x(kh) = \frac{1}{a}(1 - e^{-ah})u(kh) \Rightarrow F_d(z) = \frac{\frac{1}{a}(1 - e^{-ah})}{z - e^{-ah}}$$

$$G_d(z) = 2.5 \left(\frac{2(1 - e^{-h})}{z - e^{-h}} - \frac{(1 - e^{-2h})}{z - e^{-2h}} \right) = \frac{2.5(1 - e^{-h})^2(z + e^{-h})}{(z - e^{-h})(z - e^{-2h})} = \left\{ h = \ln 2 \right\} = \frac{0.625(z + 0.5)}{(z - 0.5)(z - 0.25)}$$

Tenta 2015-04-15, Uppg. 1

$$G(s) = \frac{K_P}{s^2 + K_D s + K_P}$$

1: $K_P = 2, K_D = 1$

2: $K_P = 1, K_D = 2$

$$KE: s^2 + K_D s + K_P = (s + \frac{K_D}{2})^2 - (\frac{K_D}{2})^2 + K_P = 0 \Rightarrow s = -\frac{K_D}{2} \pm \sqrt{(\frac{K_D}{2})^2 - K_P} \Rightarrow$$

1: $s = -\frac{1}{2} \pm \sqrt{\frac{1}{4} - 2} = -\frac{1}{2} \pm j\frac{\sqrt{7}}{2}$

2: $s = -1 \pm \sqrt{1-1} = -1$

2 har reella poler => Plot C

1 stegsvar A: $K_P = K_D = 1 \quad s^2 + 2\zeta\omega_n s + \omega_n^2 = 0 \Rightarrow \omega_n = \sqrt{K_P} = 1$
 $\zeta = \frac{K_D}{2\omega_n} = \frac{1}{2 \cdot 1} = \frac{1}{2}$

För 1: $\zeta = \frac{K_D}{2\omega_n} = \frac{1}{2 \cdot 1} \approx 0.5 < 0.5$

Vi har alltså lägre dämpning i 1 än i plot A => 1 matchar B.

Uppgift 4

Givet

Massa m med pos: $y(t)$

$$m\ddot{y}(t) = u(t) - k y(t) - b \dot{y}(t) \quad k: \text{fjäder}, b: \text{friktion}, u: \text{yttre kraft}$$

$y(t) = 0$ är massans viloläge då $u(t) = 0$

$m = k = 1$

a) $x_1(t) = y(t) \Rightarrow x_1(t) = y(t) = x_2(t)$
 $x_2(t) = \dot{y}(t) \Rightarrow x_2(t) = \dot{y}(t) = \frac{1}{m}(u(t) - k y(t) - b \dot{y}(t)) = u(t) - x_1(t) - b x_2(t)$

$$\dot{x}(t) = \begin{bmatrix} 0 & 1 \\ -1 & -b \end{bmatrix} x + \begin{bmatrix} 0 \\ 1 \end{bmatrix} u \quad y(t) = \begin{bmatrix} 1 & 0 \end{bmatrix} x \quad \text{QED}$$

b) $b = 0.5$

$$u(t) = -L u x(t) + K_r r(t)$$

Vi vill ha en dubbelpol i -2 & $L u = [l_1 \quad l_2]$

$$\dot{x}(t) = \begin{bmatrix} 0 & 1 \\ -1 & -b \end{bmatrix} x + \begin{bmatrix} 0 \\ 1 \end{bmatrix} u = \begin{bmatrix} 0 & 1 \\ -1 & -b \end{bmatrix} x + \begin{bmatrix} 0 \\ 1 \end{bmatrix} ([-l_1 \quad -l_2] x + K_r r)$$

$$= \left(\begin{bmatrix} 0 & 1 \\ -1 & -b \end{bmatrix} + \begin{bmatrix} 0 & 0 \\ -l_1 & -l_2 \end{bmatrix} \right) x + \begin{bmatrix} 0 \\ K_r \end{bmatrix} r = \underbrace{\begin{bmatrix} 0 & 1 \\ -1+l_1 & -b-l_2 \end{bmatrix}}_{A-Bk_u} x + \underbrace{\begin{bmatrix} 0 \\ K_r \end{bmatrix}}_{B K_r} r$$

$$\det(sI - (A - Bk_u)) = 0$$

$$\det \left(\begin{bmatrix} s & -1 \\ 1+l_1 & s+b+l_2 \end{bmatrix} \right) = s(s+b+l_2) - (-1)(1+l_1) = s^2 + (b+l_2)s + 1+l_1 = 0$$

dubbelpol i -2: $(s+2)^2 = s^2 + 4s + 4 \Rightarrow \left. \begin{matrix} b+l_2 = 4 = 4-b = 4-0.5 = 3.5 \\ 1+l_1 = 4 \Rightarrow l_1 = 3 \end{matrix} \right\} L u = [3 \quad 3.5]$

c) $R(s) = \frac{1}{s}$

Vad blir $y(t)$ när massan m ställt in sig i sin nya position?
 Vad är ett lämpligt värde på K_r ?

$$Y(s) = G(s)R(s)$$

$$\lim_{t \rightarrow 0} y(t) = \lim_{s \rightarrow 0} s \cdot G(s)R(s) = \lim_{s \rightarrow 0} s \cdot G(s) \cdot \frac{1}{s} = G(s)|_{s=0}$$

Bestäm K_r så att $G(s)|_{s=0} = 1$ $y(t) \xrightarrow{t \rightarrow \infty} r(t) \Rightarrow y(t) \xrightarrow{t \rightarrow \infty} 1$

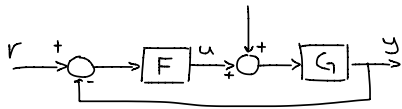
$$G(s) = C(SI - (A - BLu))^{-1} BK_r = [1 \quad 0] \left(\frac{1}{\det(SI - (A - BLu))} \begin{bmatrix} s + b + d_1 & 1 \\ -1 \cdot d_1 & s \end{bmatrix} \right) \begin{bmatrix} 0 \\ K_r \end{bmatrix} =$$

$$\frac{1}{s^2 + 4s + 4} [1 \quad 0] \begin{bmatrix} K_r \\ sK_r \end{bmatrix} = \frac{K_r}{s^2 + 4s + 4}$$

$$G(s)|_{s=0} = \frac{K_r}{4} = 1 \Rightarrow K_r = 4 \Rightarrow u(t) = [3 \quad 35]x(t) + 4r(t)$$

Tentamen 2013-08-22 Uppg 4

$$G(s) = \frac{1}{s(s+8)^2}$$



Givet

Bort med kvarstående fel efter en stegstörning v
 $\varphi_m = 50^\circ$

a) Sätt $F(s) = K_p(1 + \frac{1}{T_i s})$
 $\omega_c = 0.4 \omega_{150}$, $\angle G(j\omega_{150}) = -150^\circ$

$$\arg\{G(j\omega_{150})\} = -90^\circ - 2 \tan^{-1}(\frac{\omega_{150}}{8}) = -150^\circ \Rightarrow \omega_{150} = 8 \tan(\frac{150-90}{2}) \approx 4.62 \frac{\text{rad}}{s} \Rightarrow \omega_c \approx 1.85 \frac{\text{rad}}{s}$$

$$\varphi_m = 180^\circ + \arg\{L(j\omega_c)\} \Rightarrow \arg\{F(j\omega_c)\} = 50^\circ - 180^\circ - \arg\{G(j\omega_c)\} \approx -14^\circ$$

$$\arg\{F(j\omega_c)\} = \arg\{\frac{K_p(1 + \frac{1}{T_i j\omega_c})}{1 + T_i j\omega_c}\} = \tan^{-1}(T_i \omega_c) - 90^\circ = 14^\circ \Rightarrow T_i = \frac{1}{\omega_c \tan(90^\circ - 14^\circ)} \approx 2.17$$

$$|L(j\omega_c)| = 1$$

$$|L(j\omega_c)| = |F(j\omega_c)| |G(j\omega_c)| = 1 \Rightarrow |F(j\omega_c)| = \frac{1}{|G(j\omega_c)|} = \frac{1}{|\frac{1}{j\omega_c(j\omega_c+8)^2}|} = \frac{1}{\omega_c(\omega_c^2+8^2)} \approx 124.73$$

$$|F(j\omega_c)| = |K_p(\frac{1 + \frac{1}{T_i j\omega_c})}{1 + T_i j\omega_c}| = \frac{K_p \sqrt{1 + \frac{1}{T_i^2 \omega_c^2}}}{T_i \omega_c} = 124.73 \Rightarrow K_p \approx 121$$

b) $G_1(s) = \frac{1}{s(s+8)^2} \cdot e^{-T_d s}$ (T_d = fördröjning, bidrar med neg fasvridning)

$$\arg\{e^{-T_d j\omega}\} = -T_d \omega \frac{180}{\pi}$$

$$\varphi_m = 50^\circ \text{ blir noll om } -T_d \omega_c \frac{180}{\pi} = -50 \Rightarrow T_d = \frac{50\pi}{\omega_c 180} \approx 0.47s$$